

Fig. 1

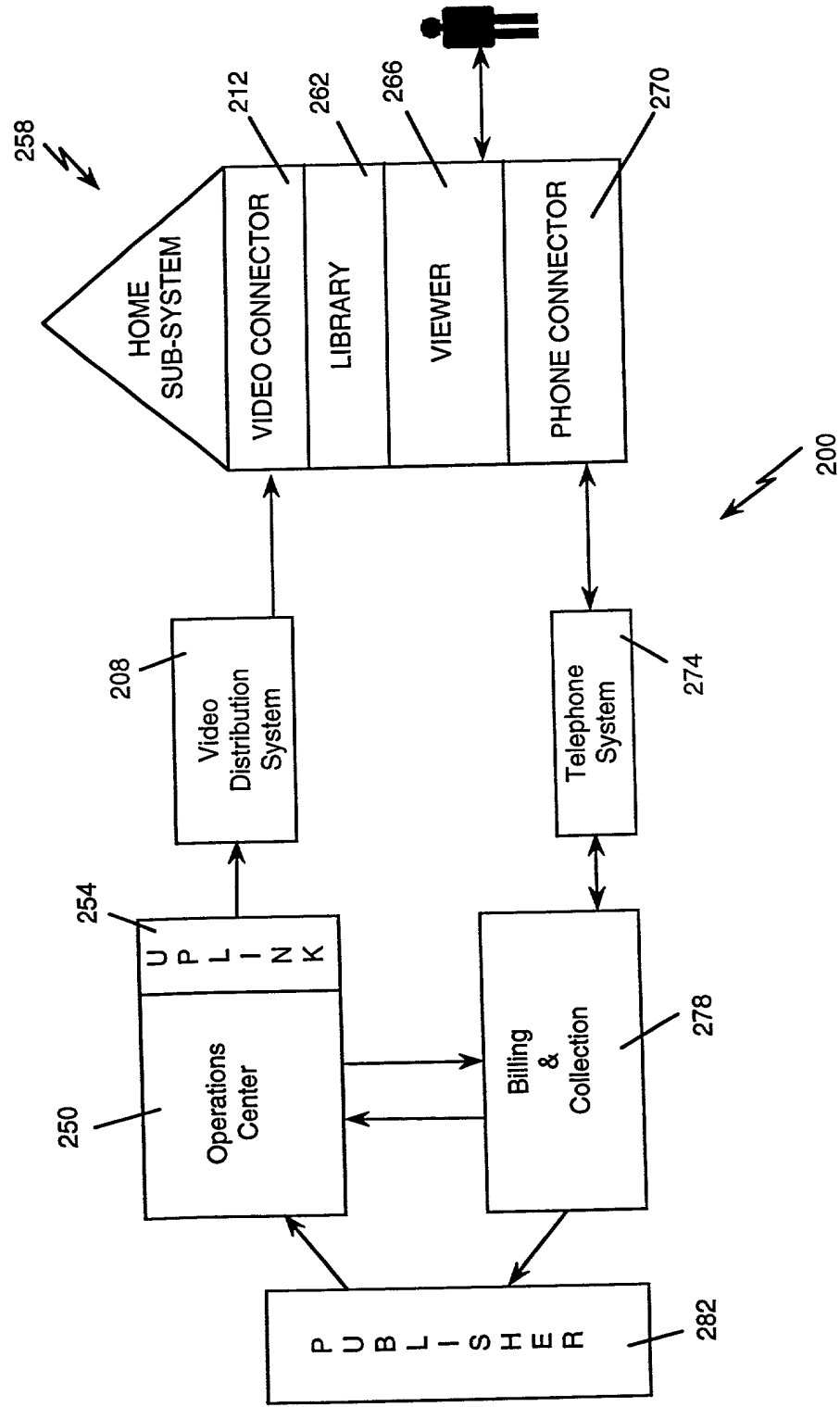
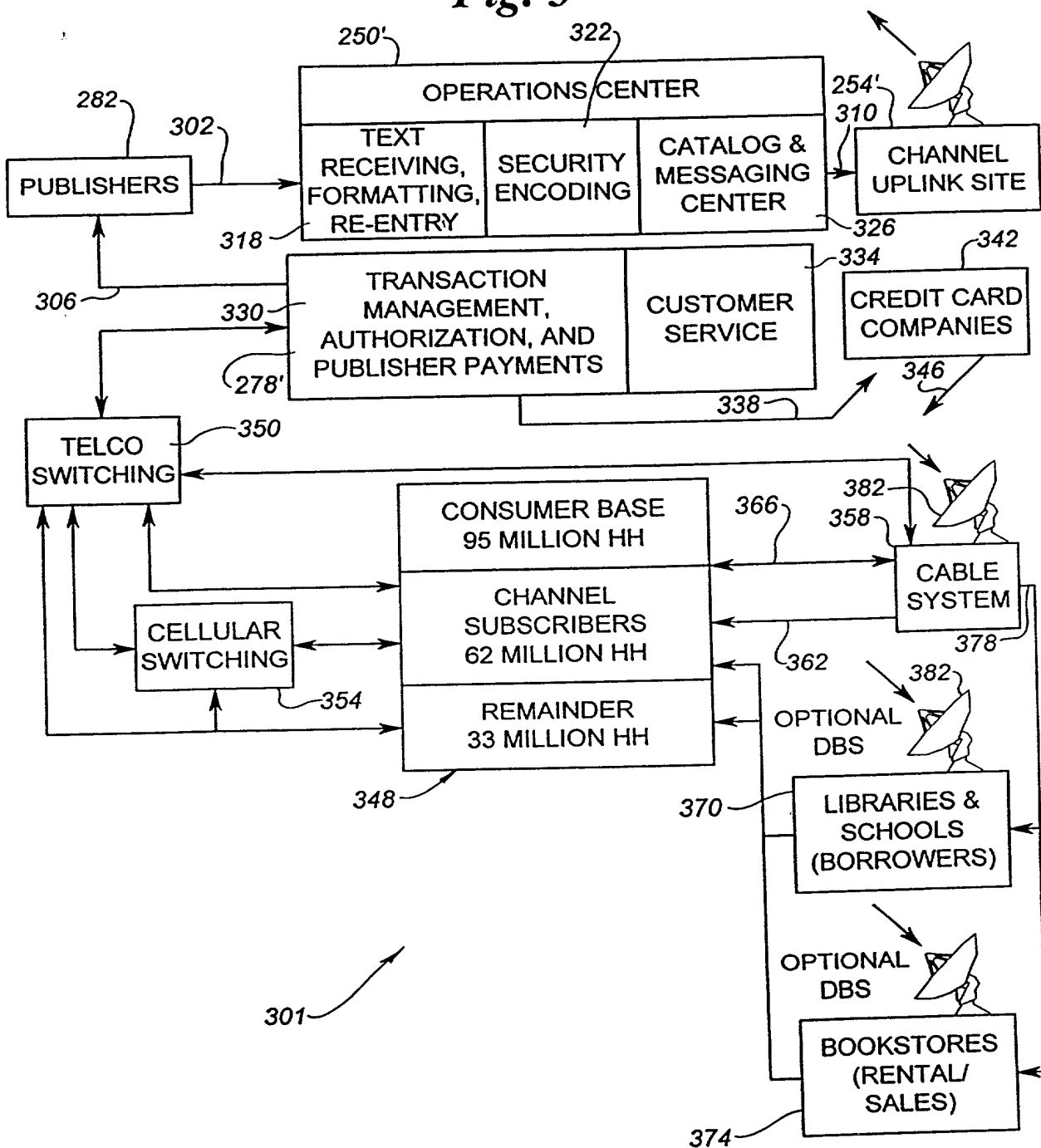


Fig. 2

Fig. 3

TELECASTER SYSTEM



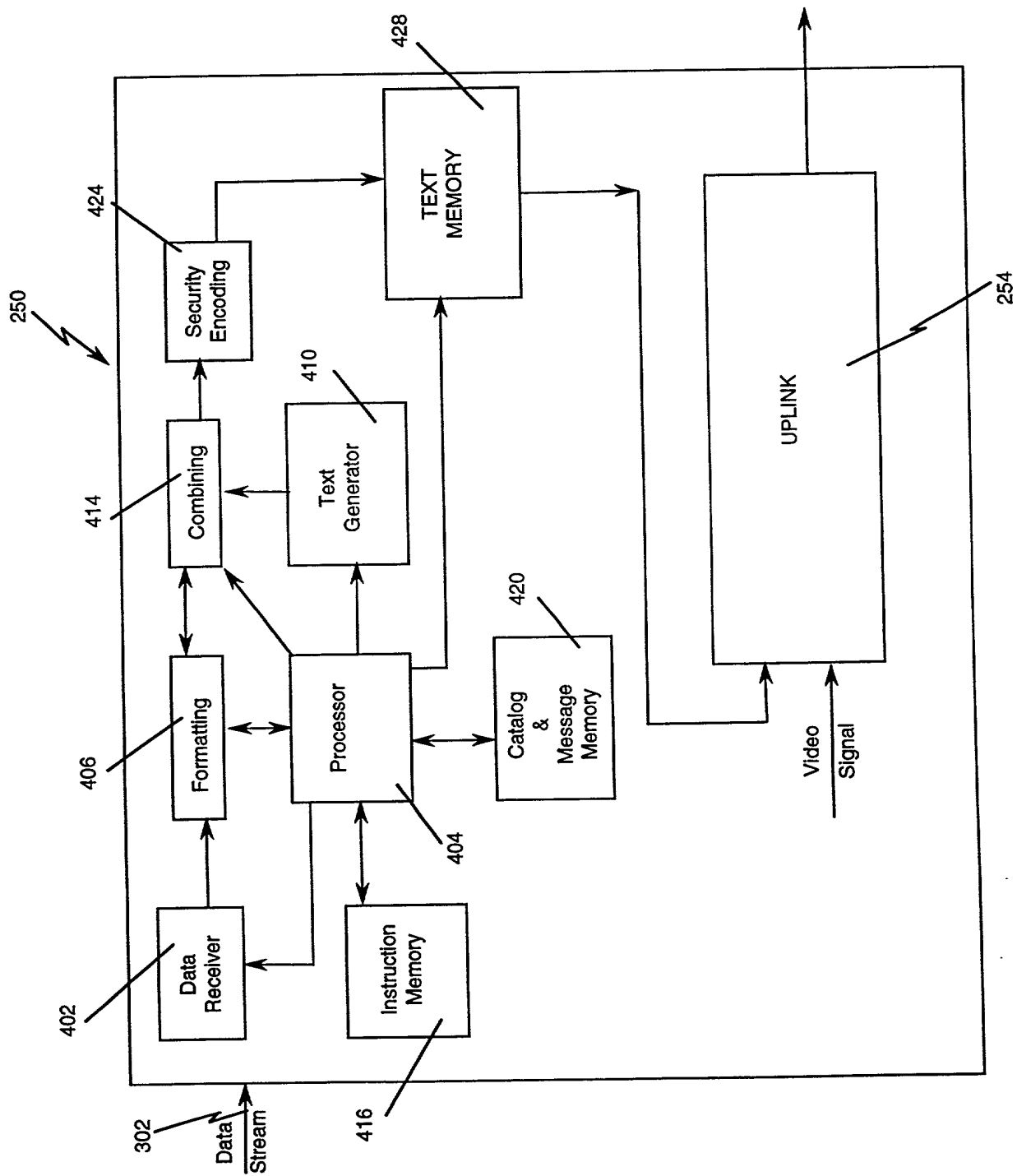


Fig. 4

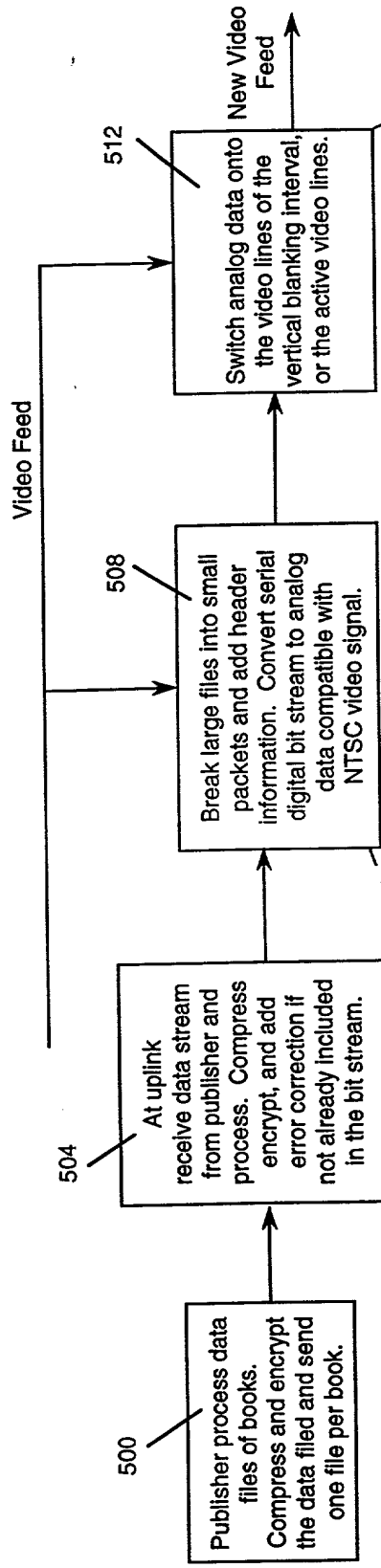


Fig. 5a

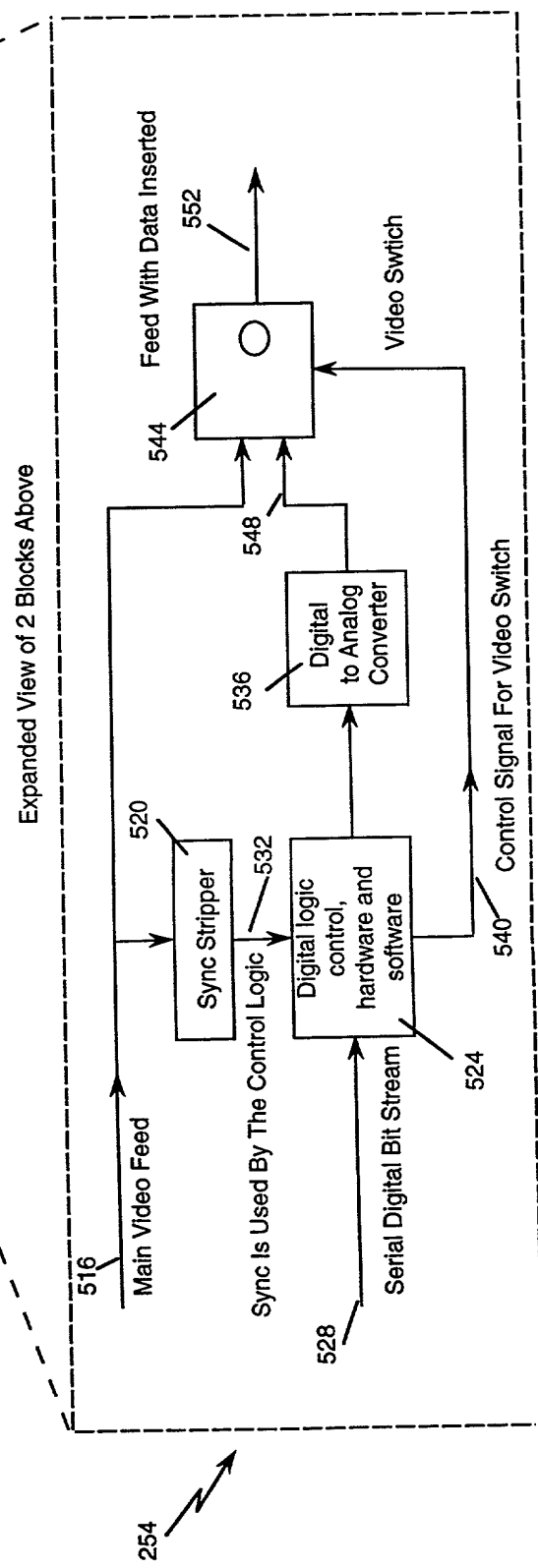


Fig. 5b

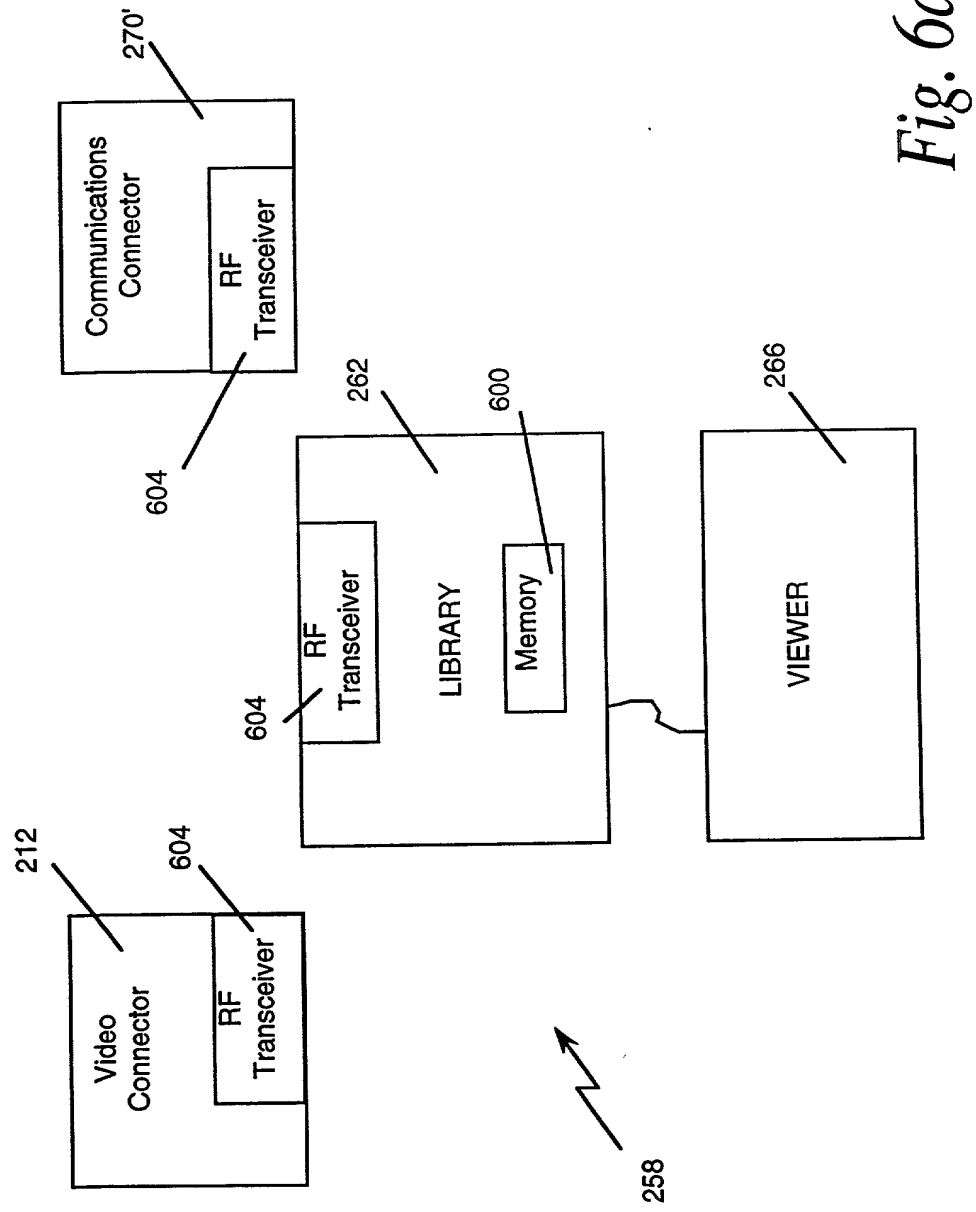


Fig. 6a

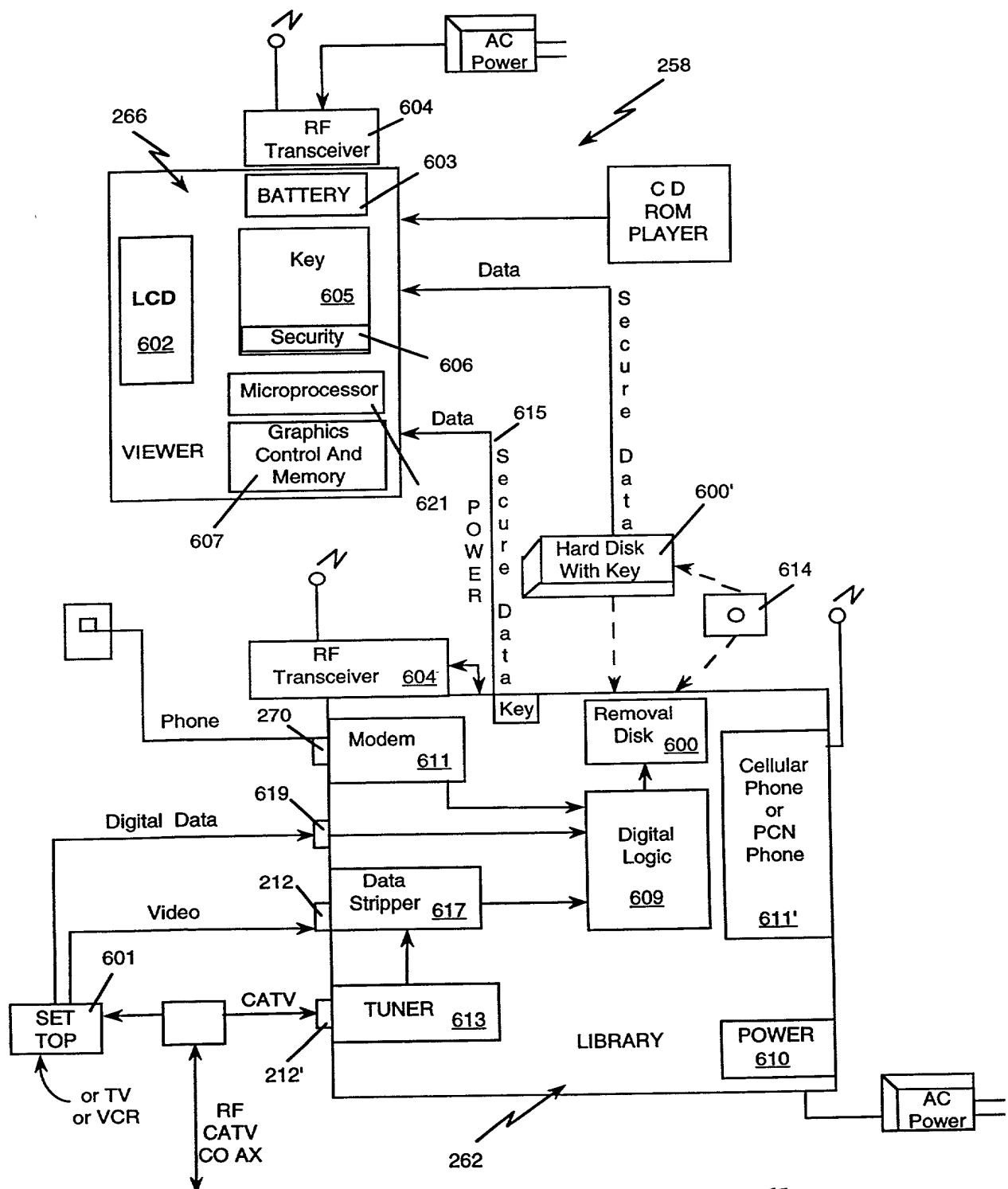


Fig. 6b

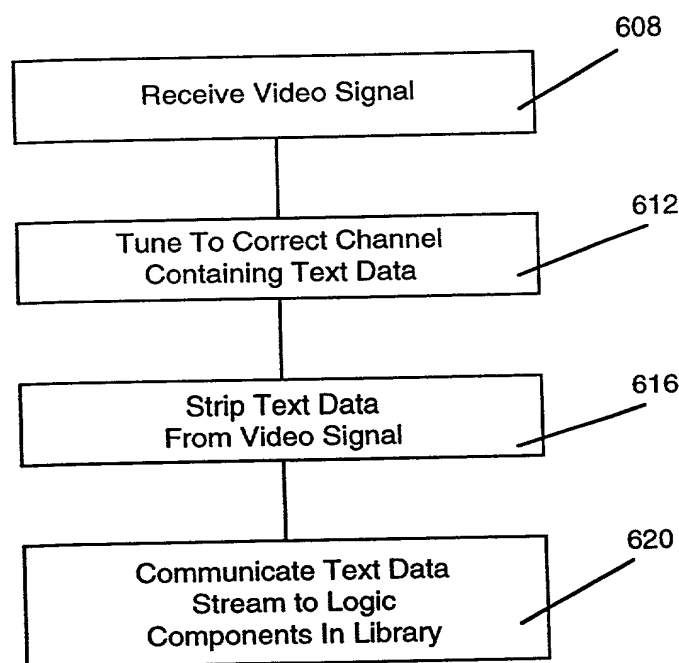


Fig. 7

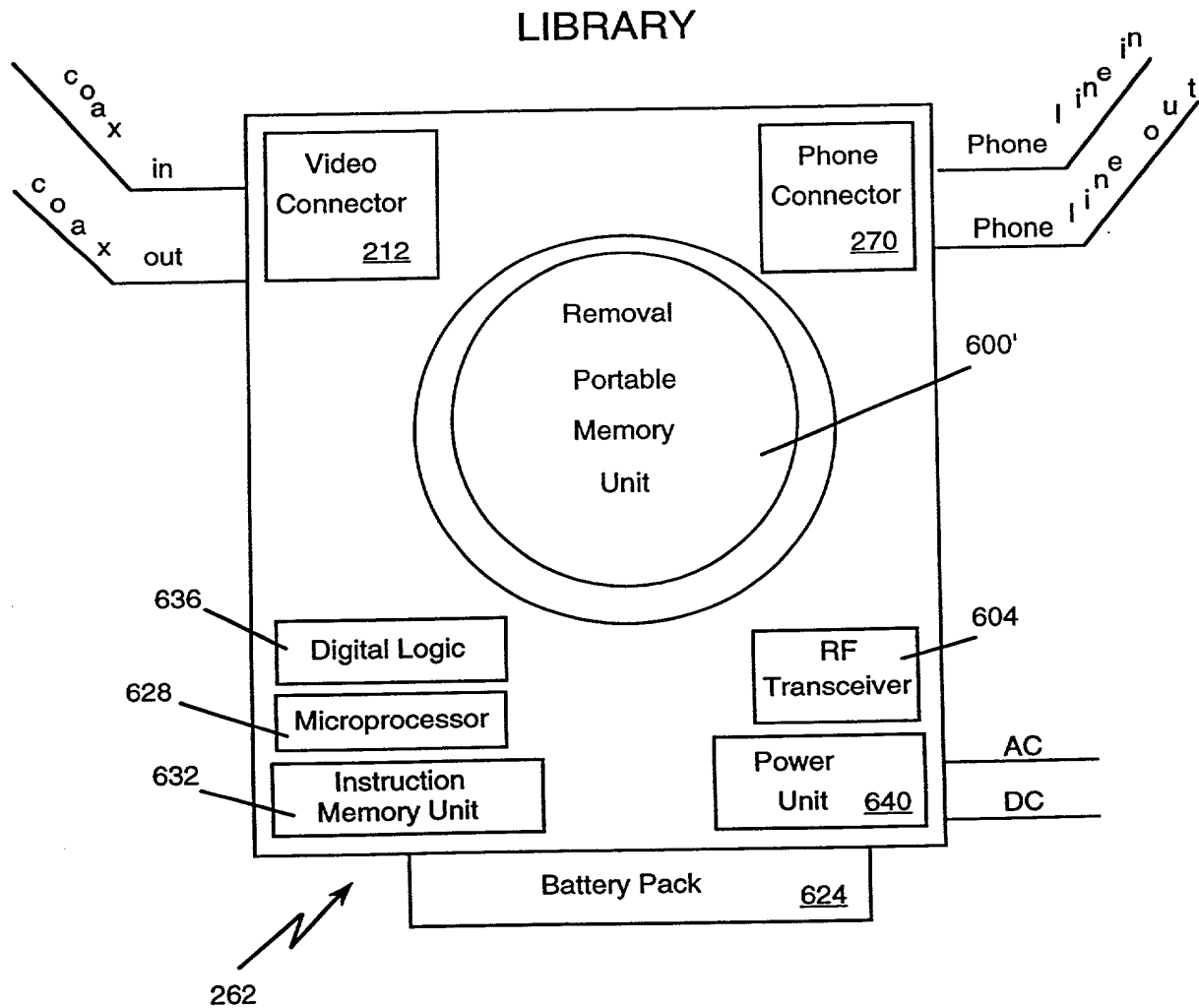


Fig. 8

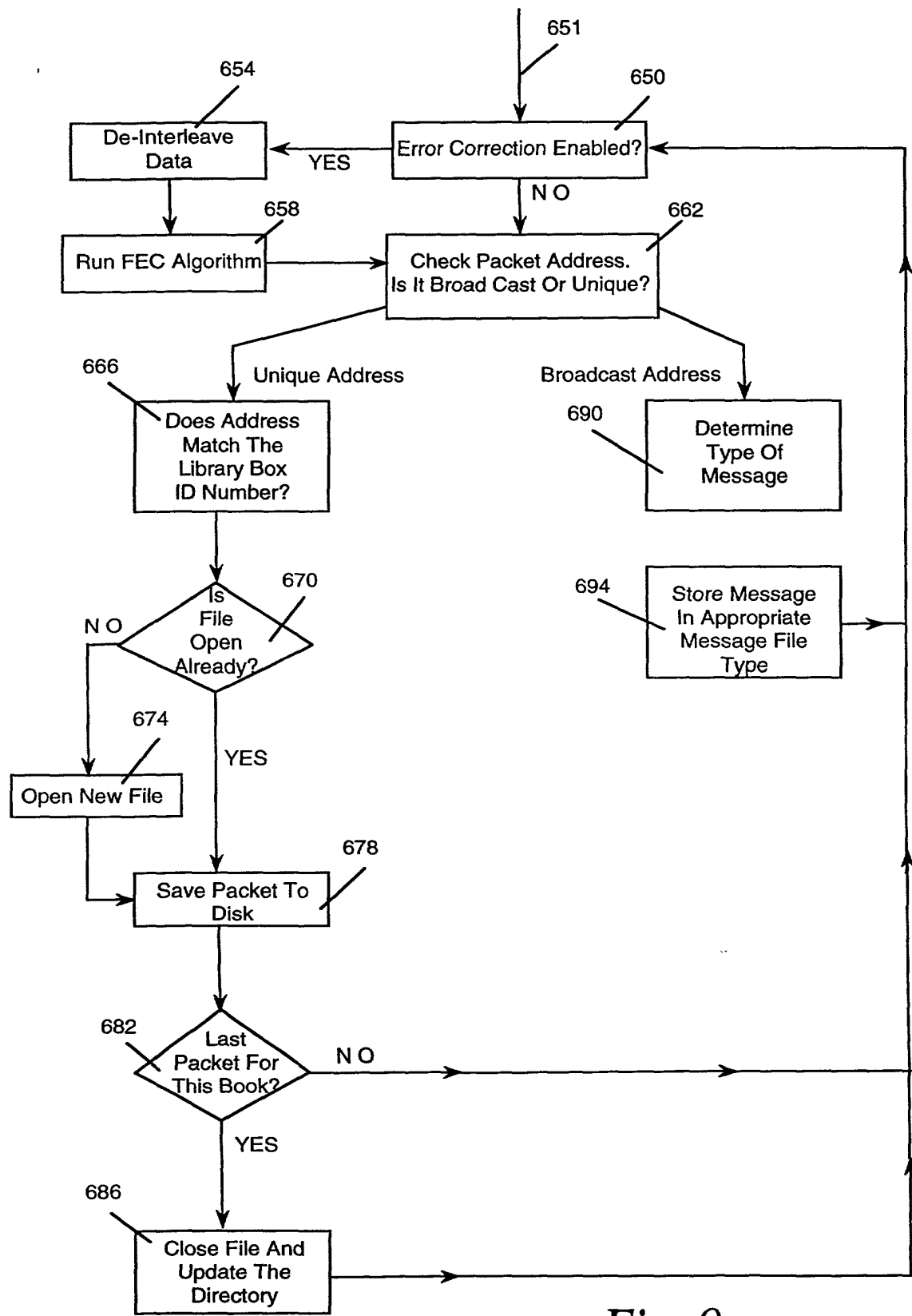


Fig. 9

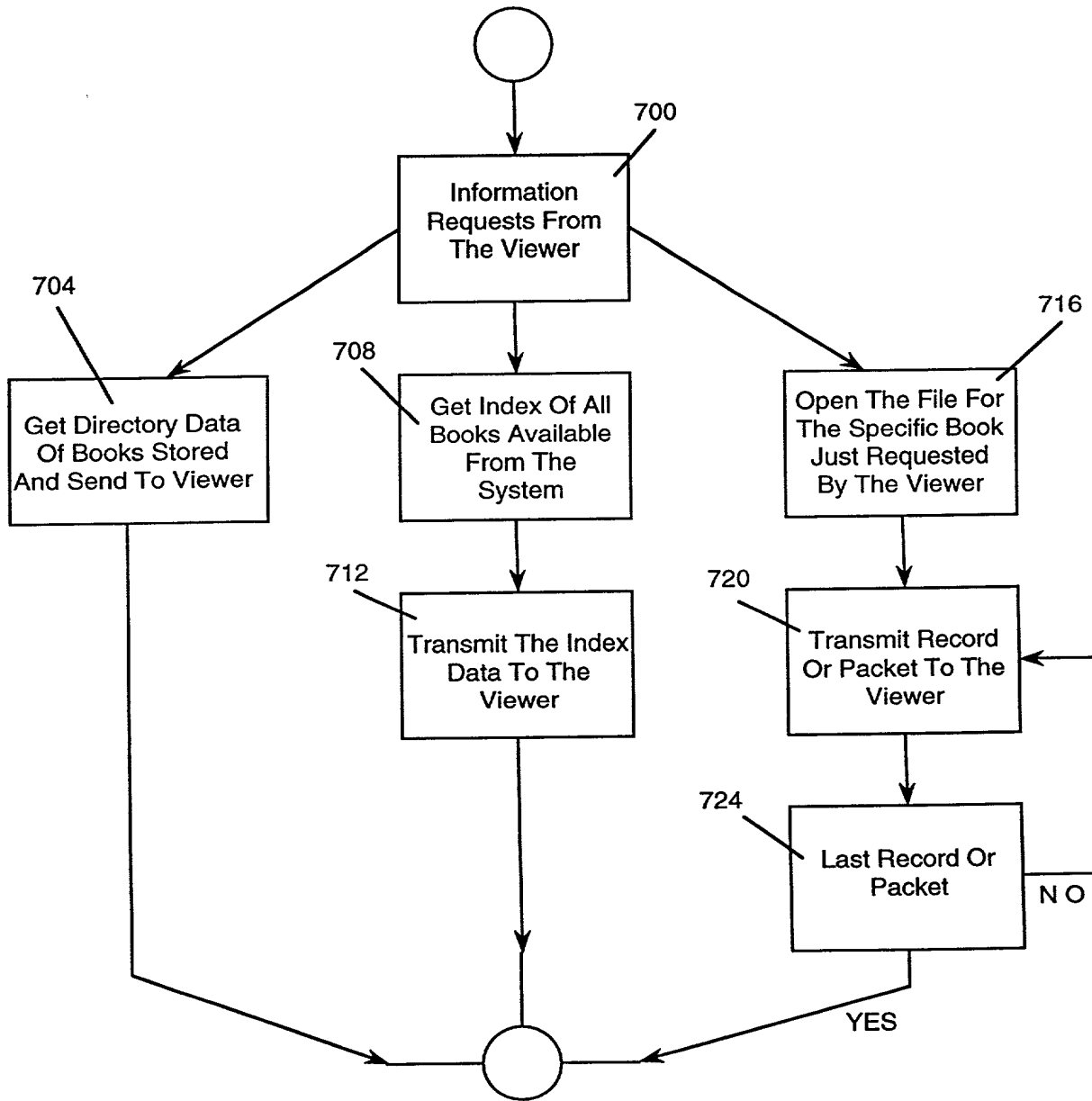


Fig. 10

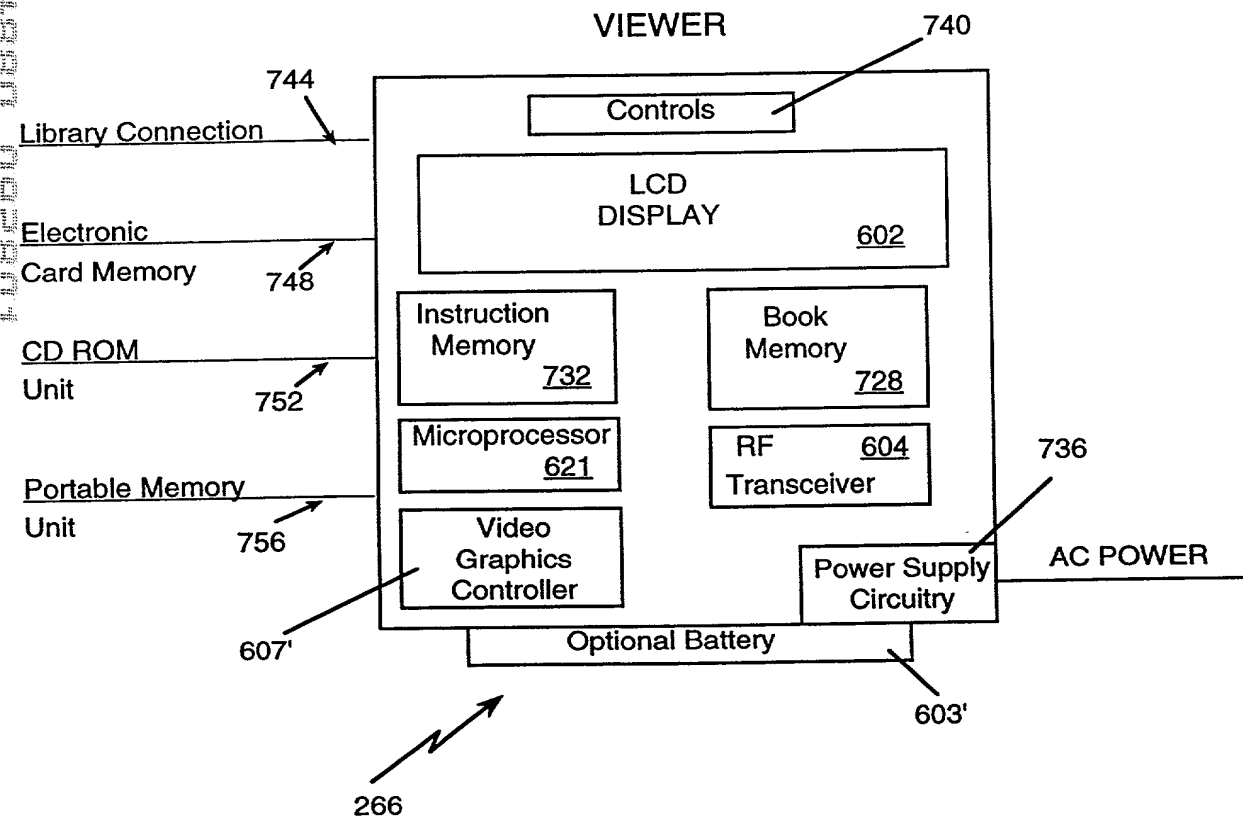


Fig. 11

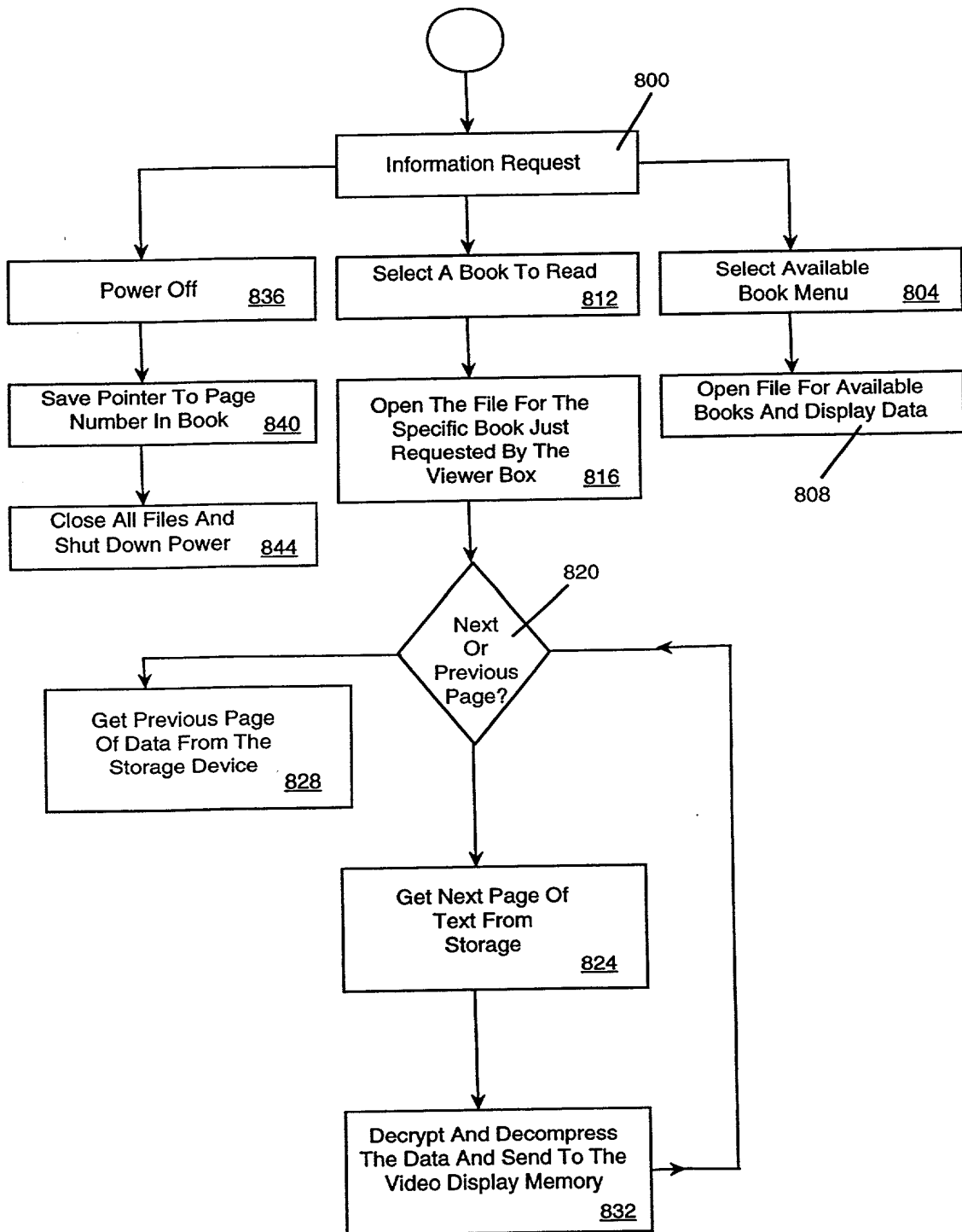


Fig. 12

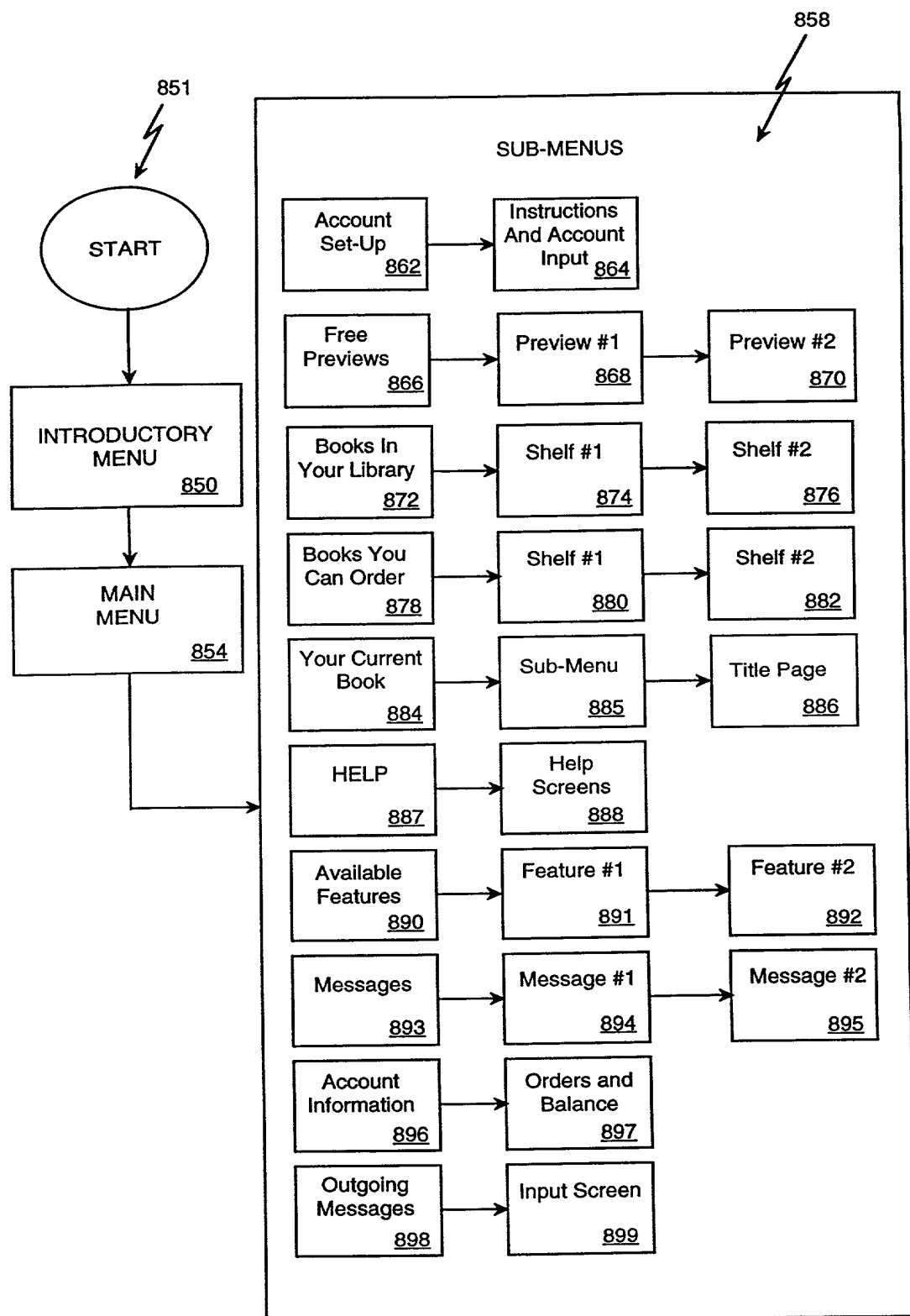


Fig. 13

Fig. 14a

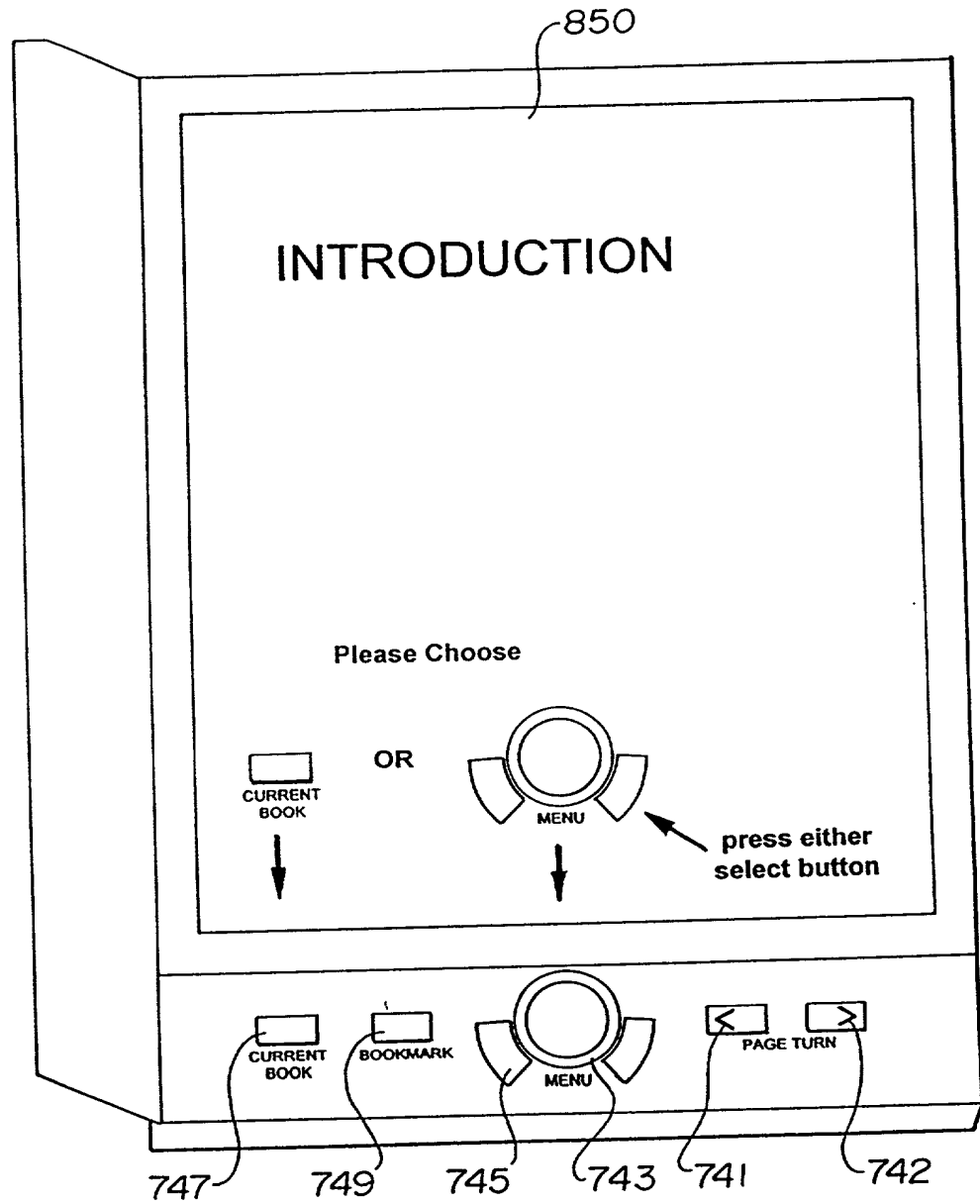


Fig. 14b

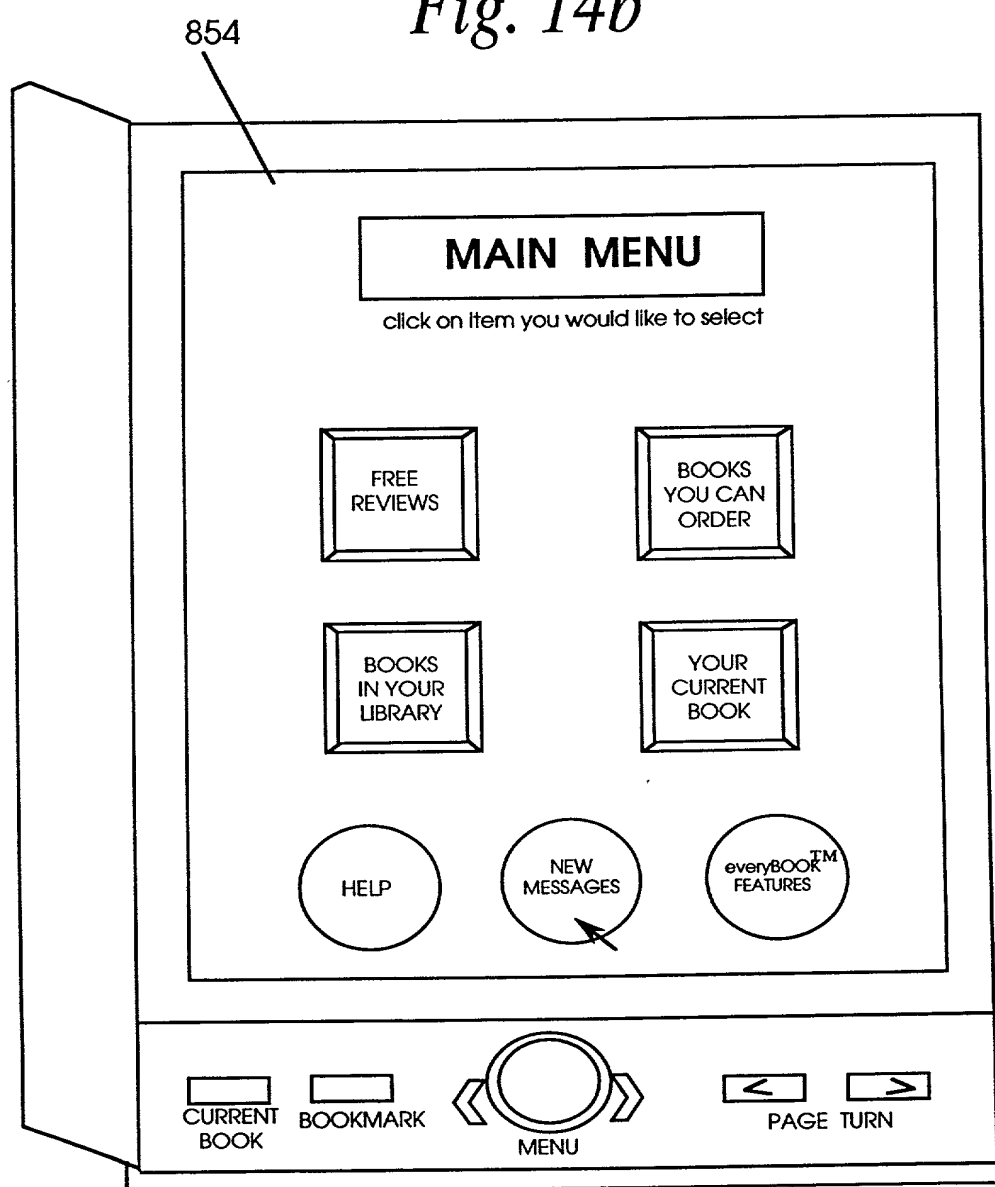


Fig. 14c

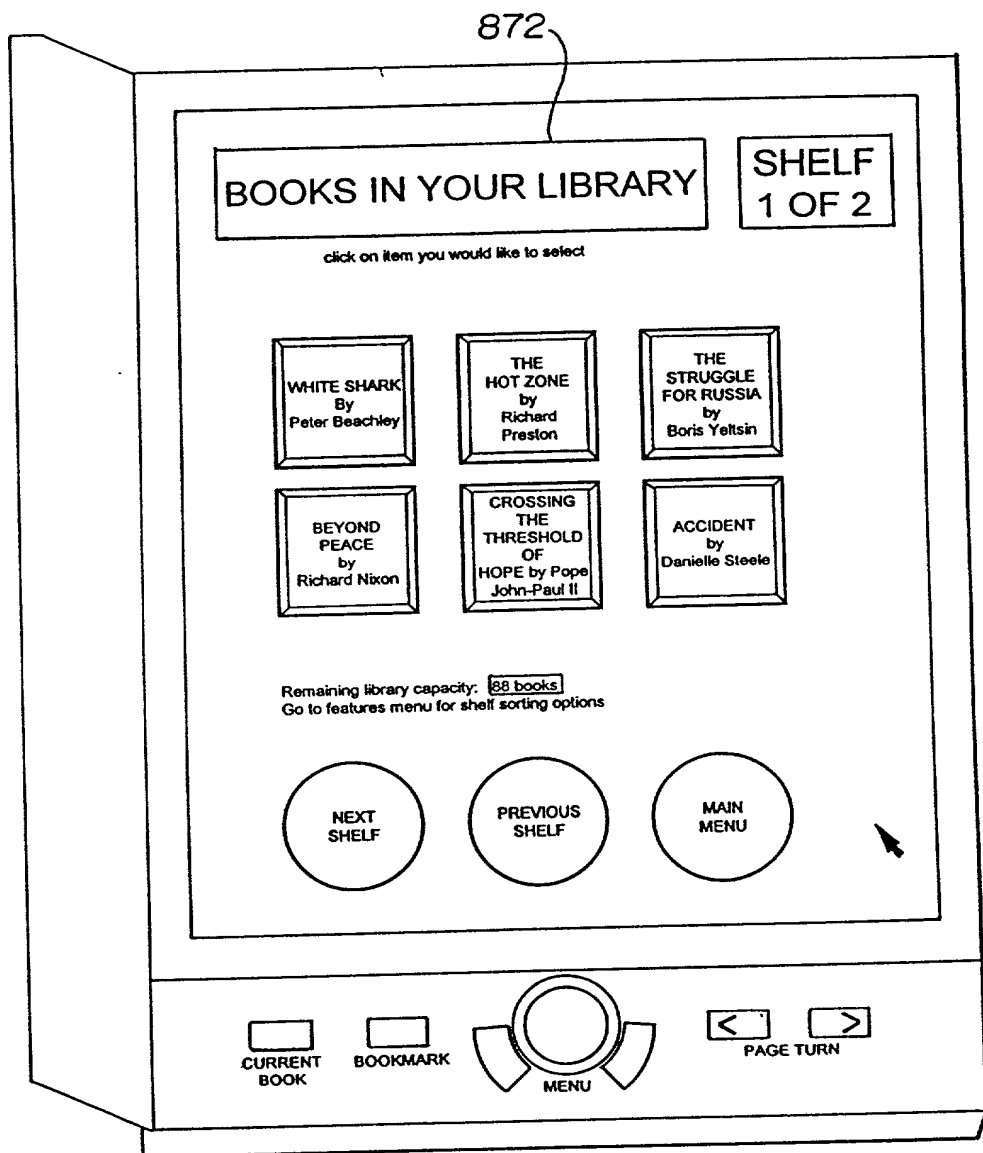


Fig. 14d

878

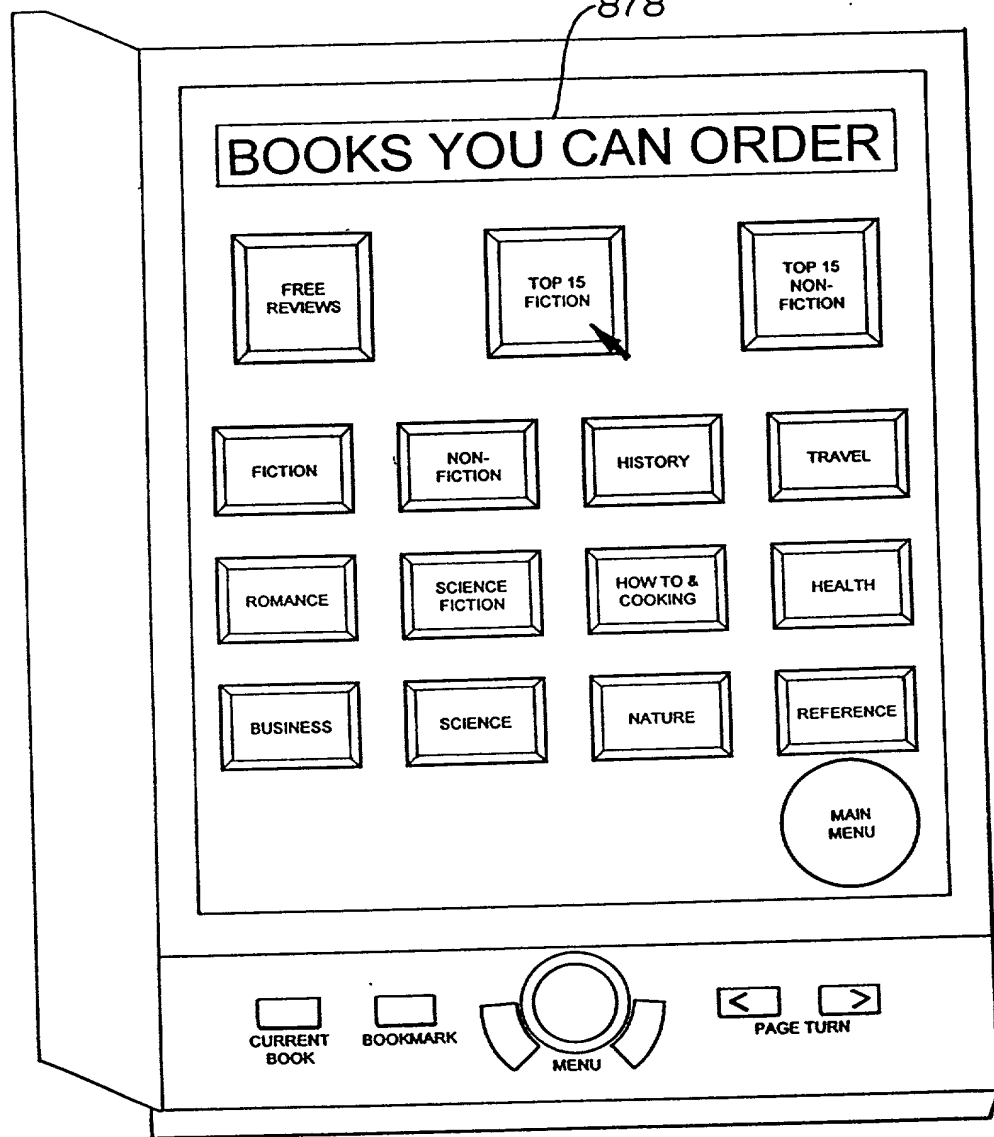


Fig. 14e

880

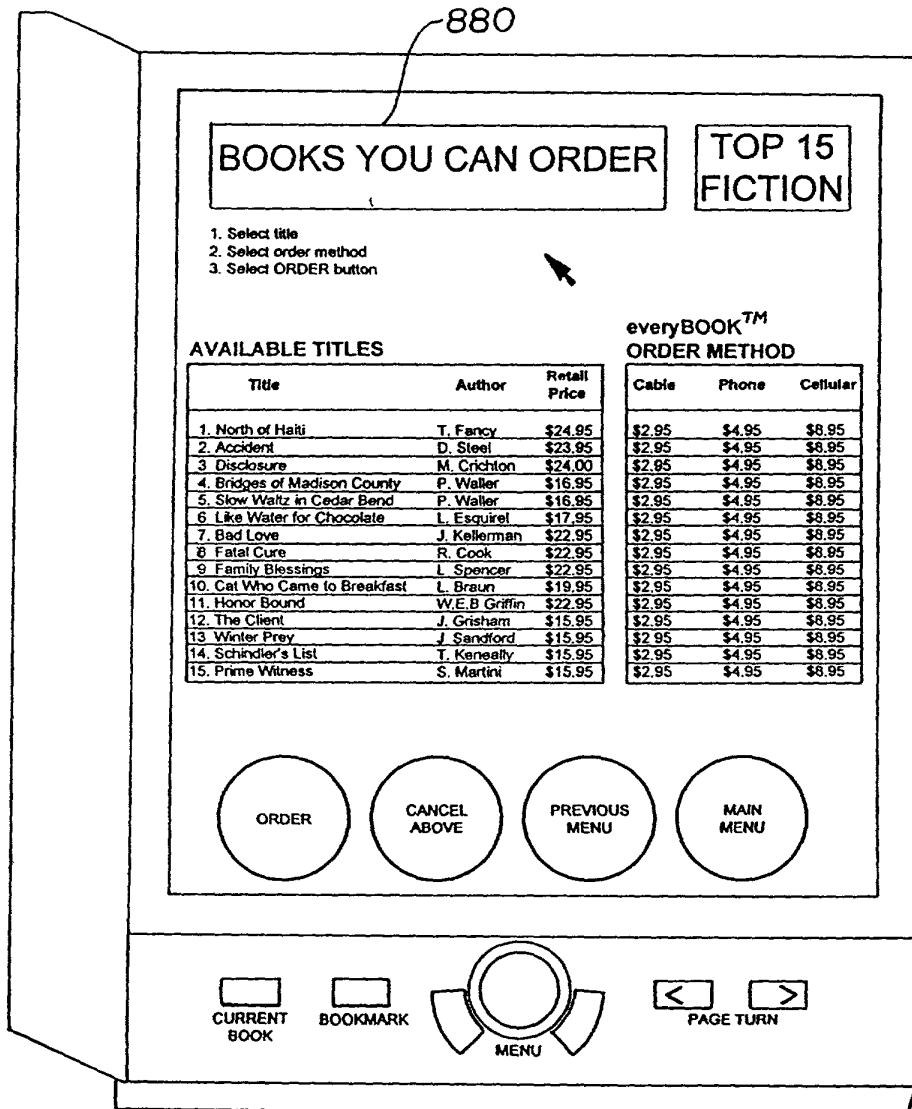


Fig. 14f

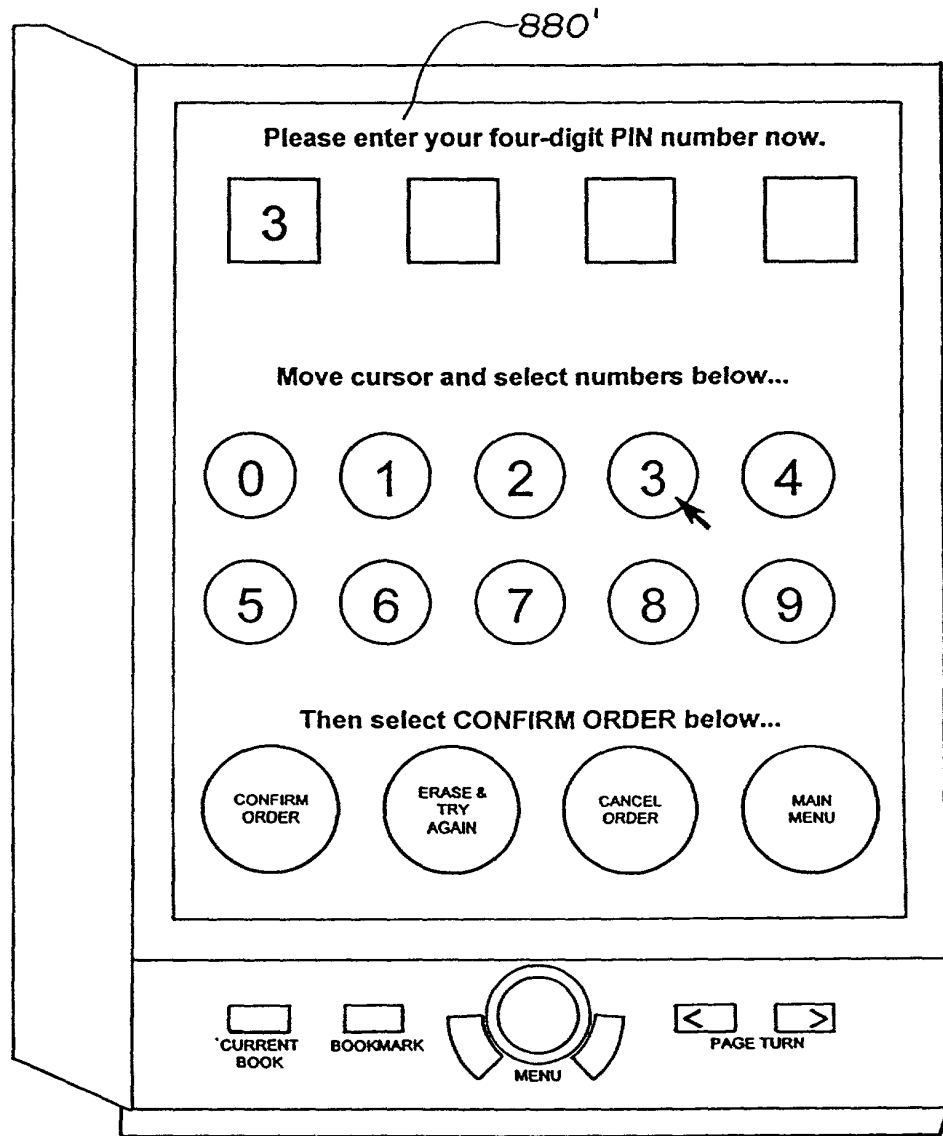


Fig. 14g

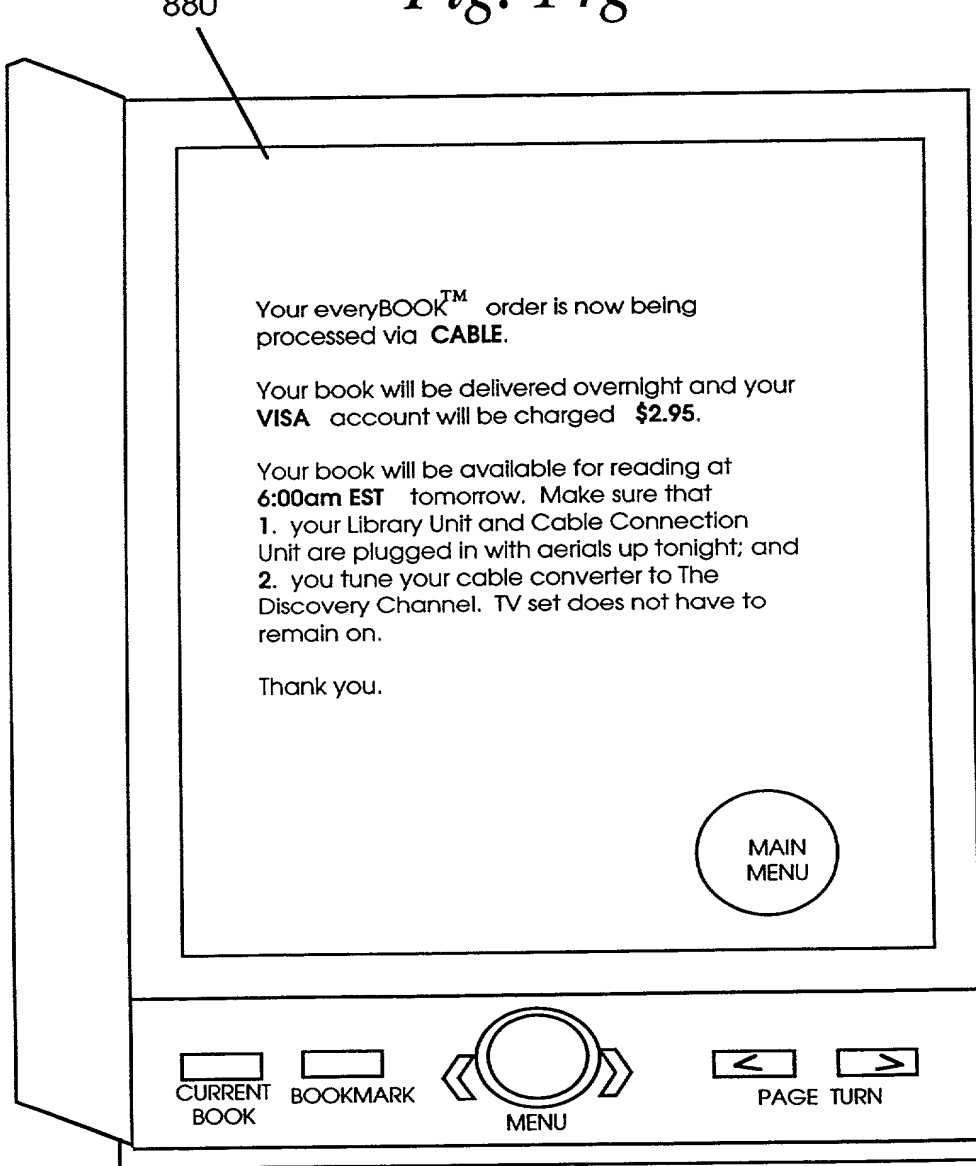


Fig. 14h

095347880 - 0952884

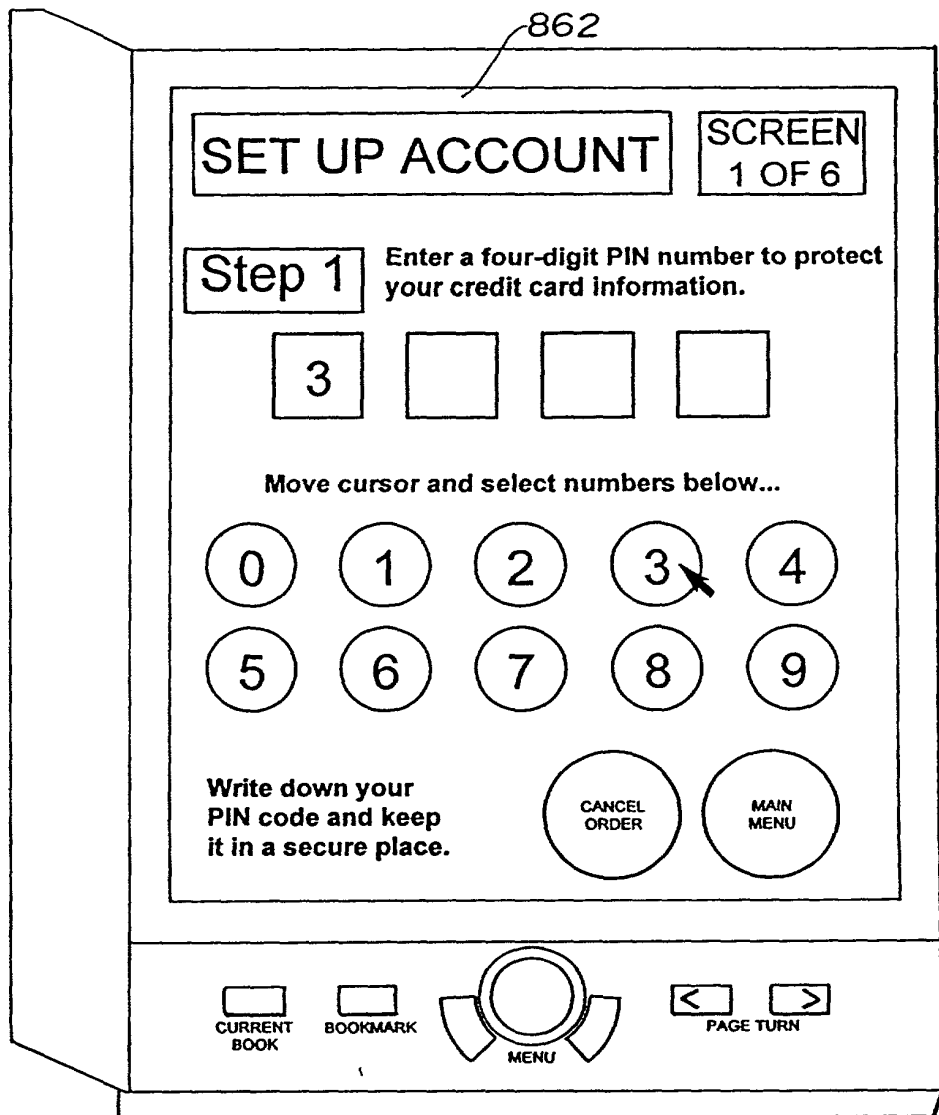


Fig. 14i

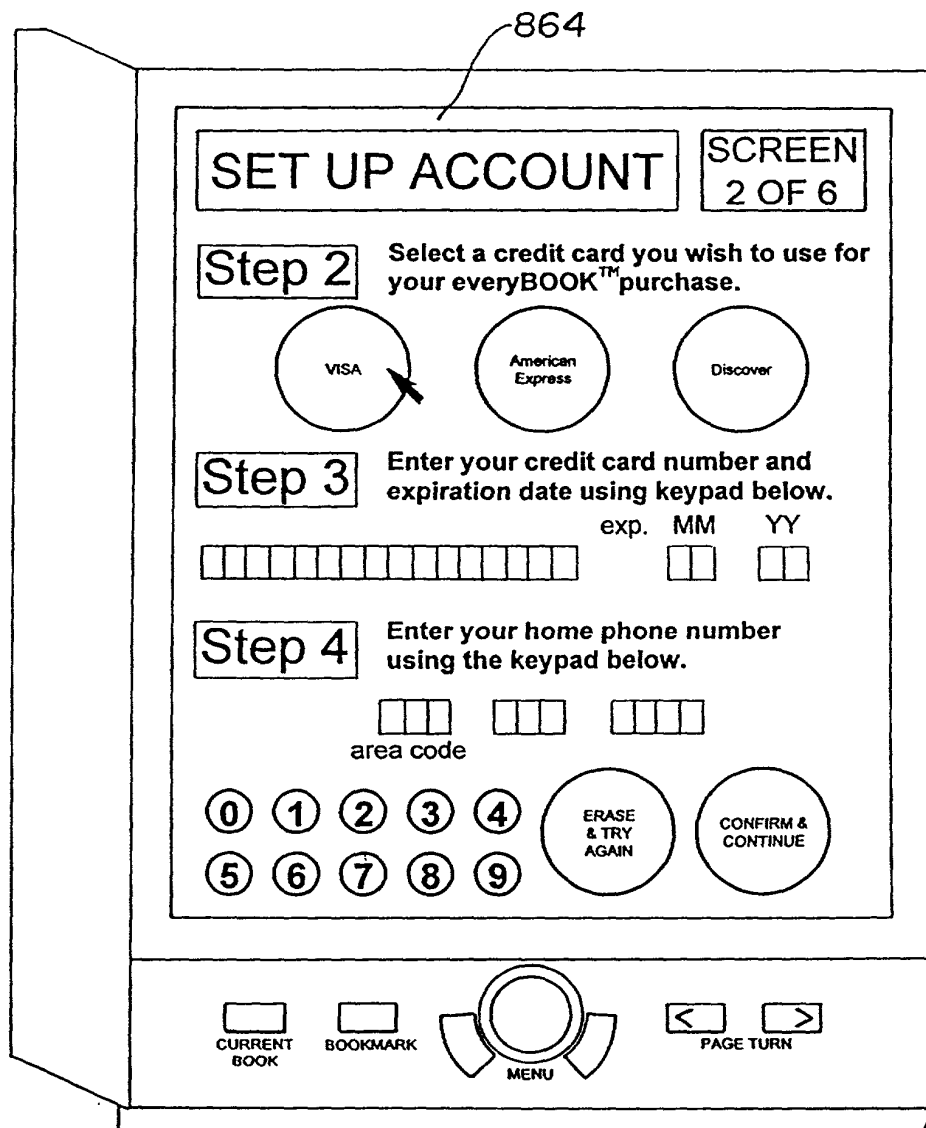


Fig. 14j

864'

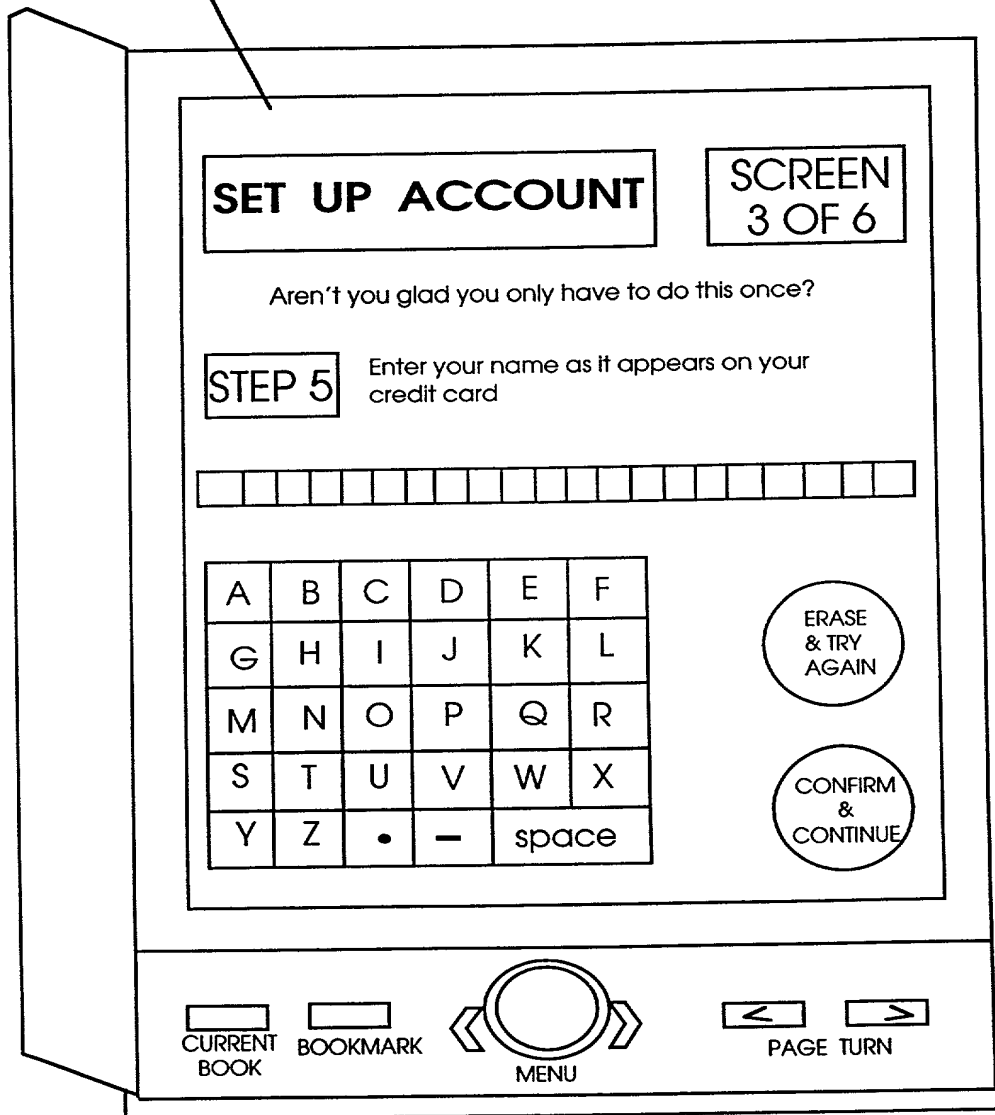


Fig. 14k

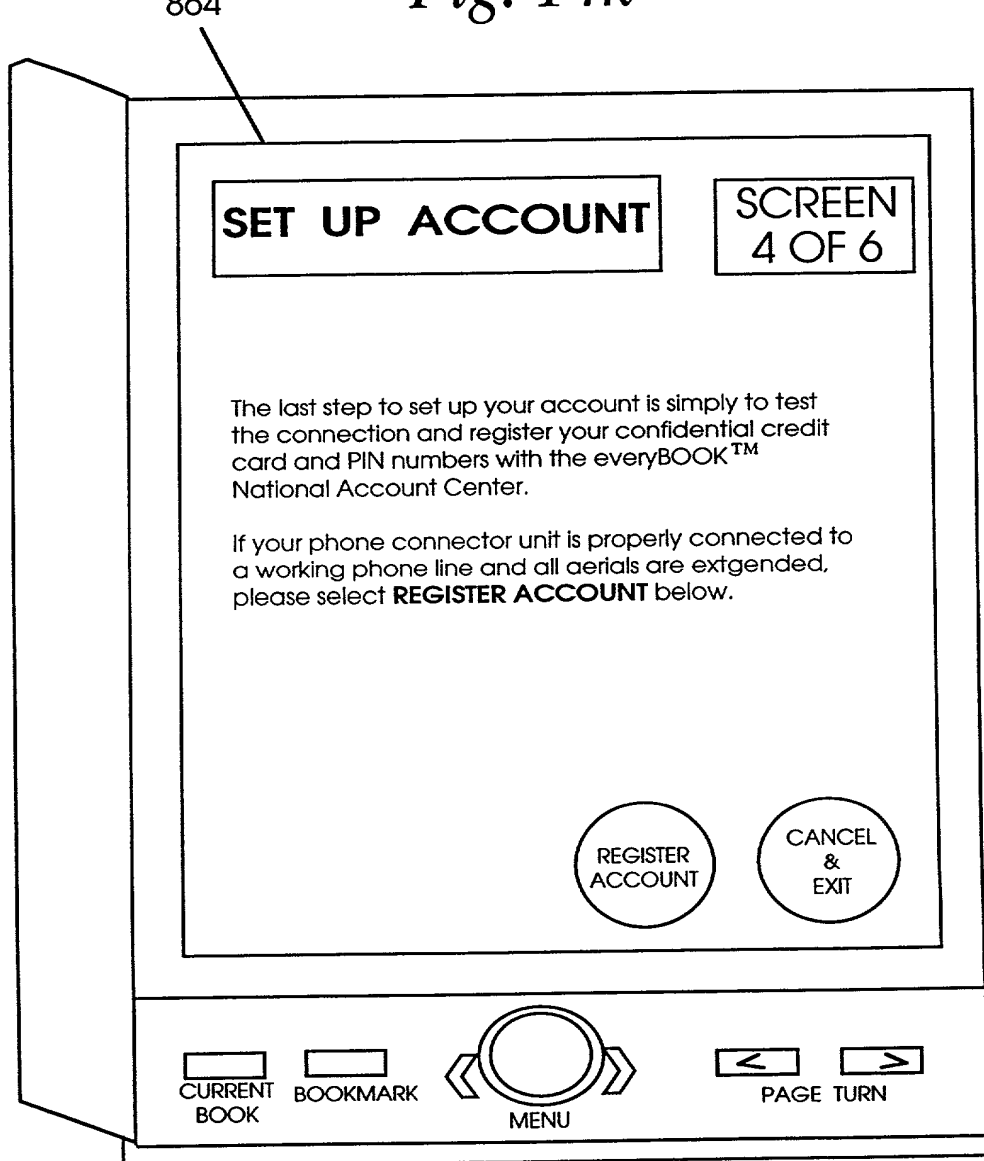


Fig. 14l

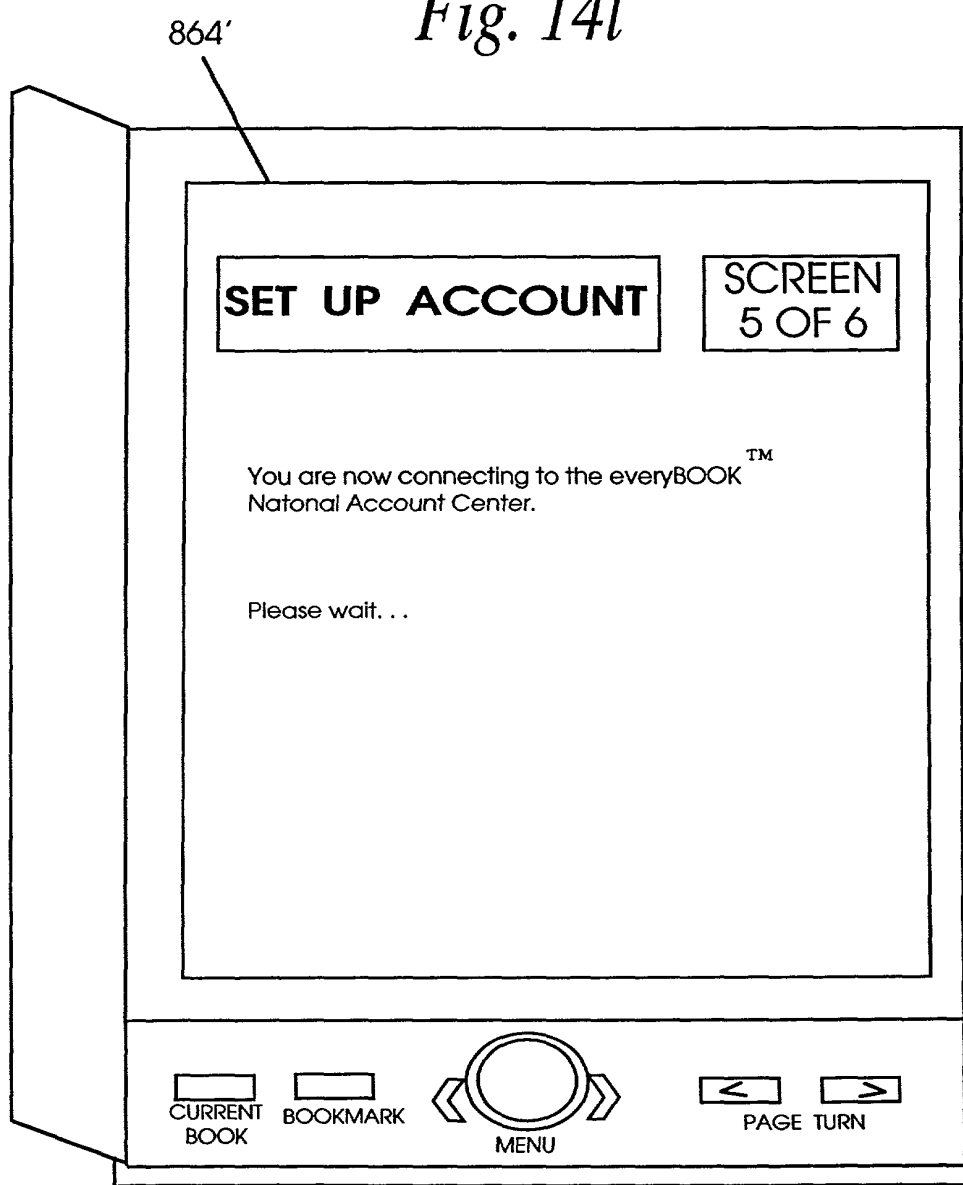


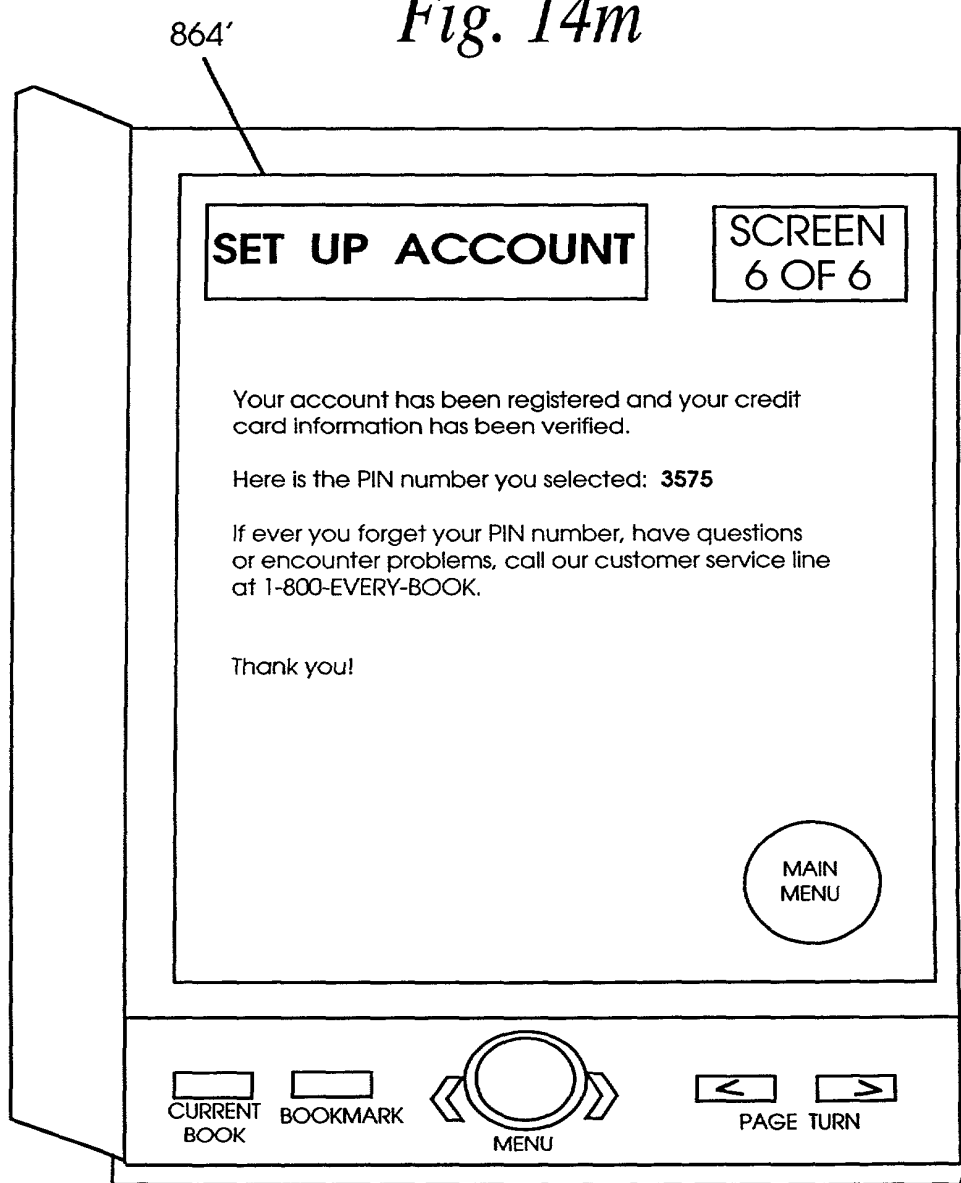
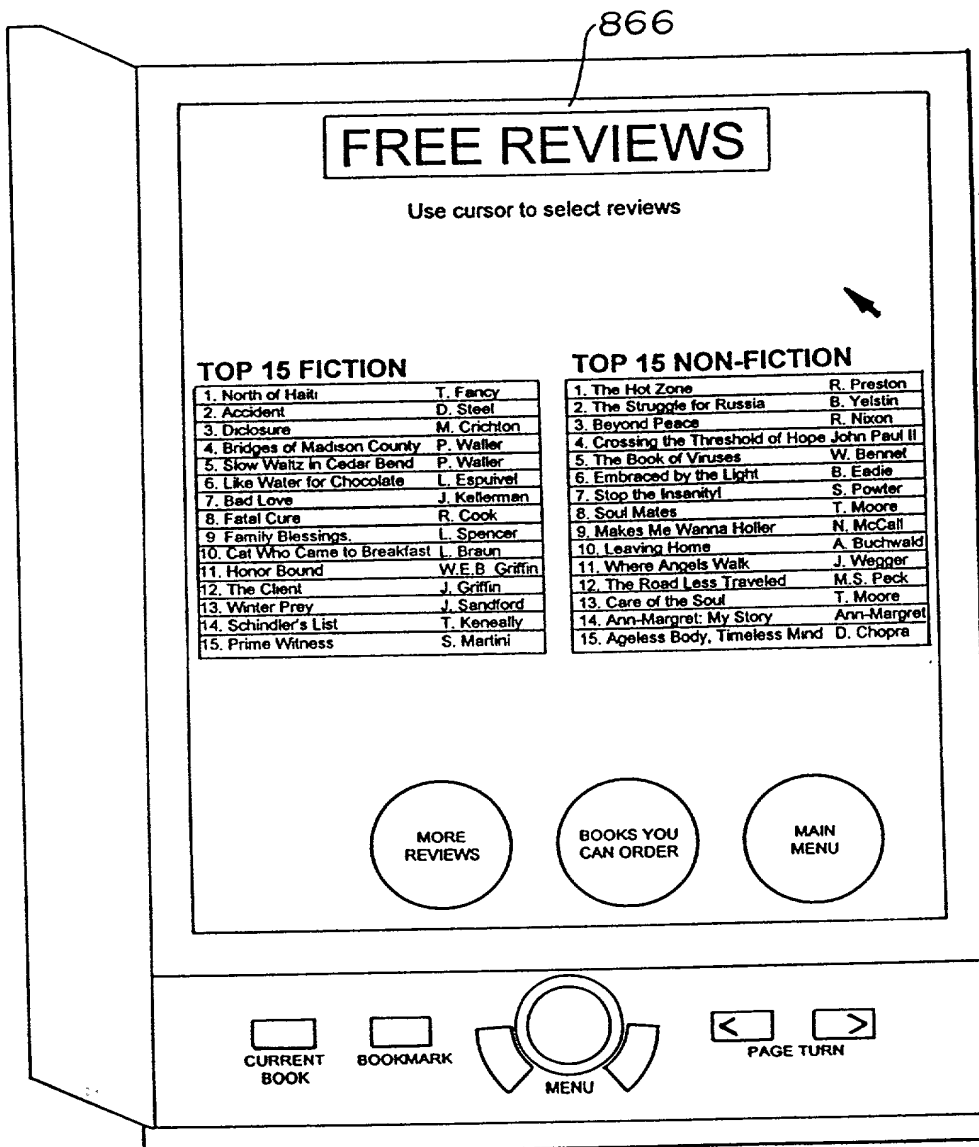
Fig. 14m

Fig. 14n



868

Fig. 140

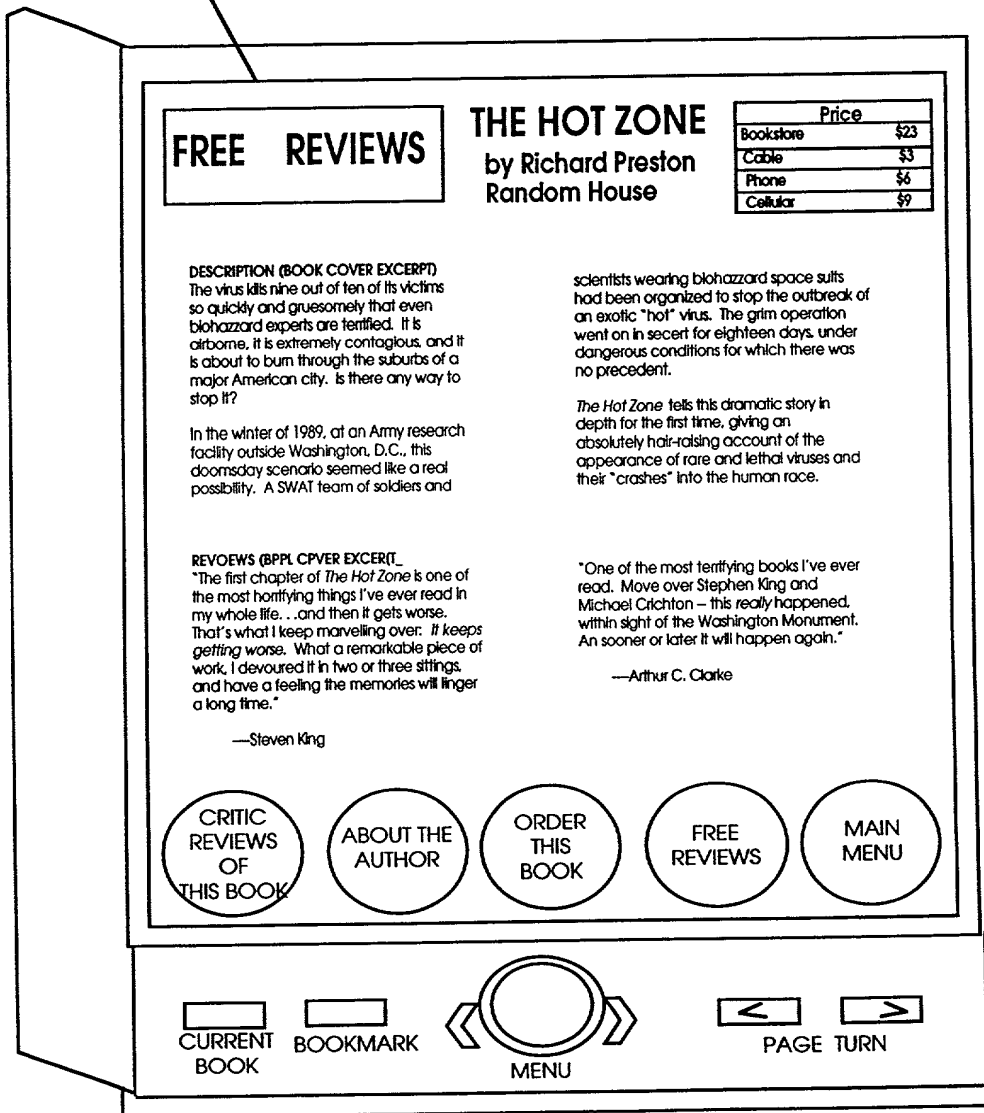
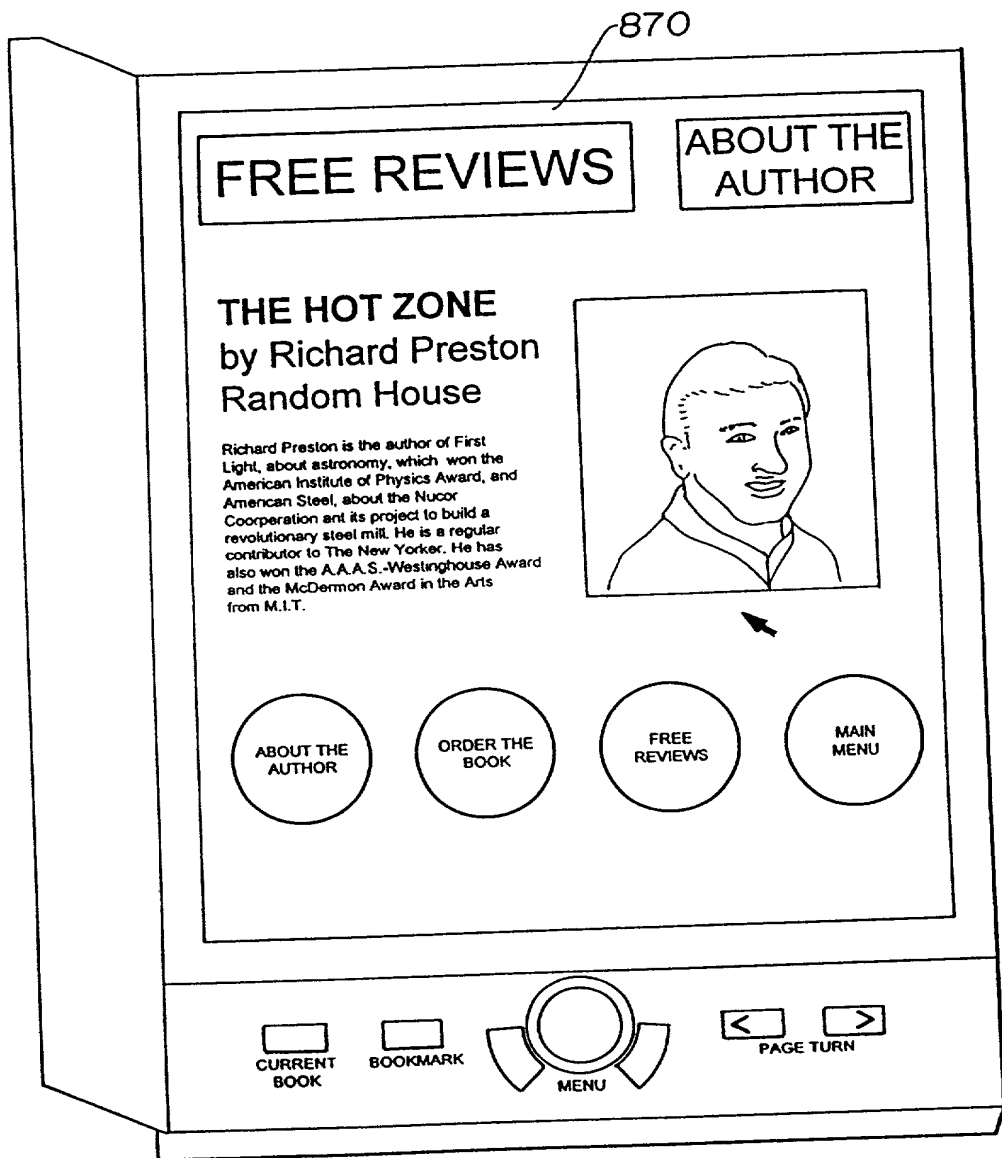


Fig. 14p



894

Fig. 14q

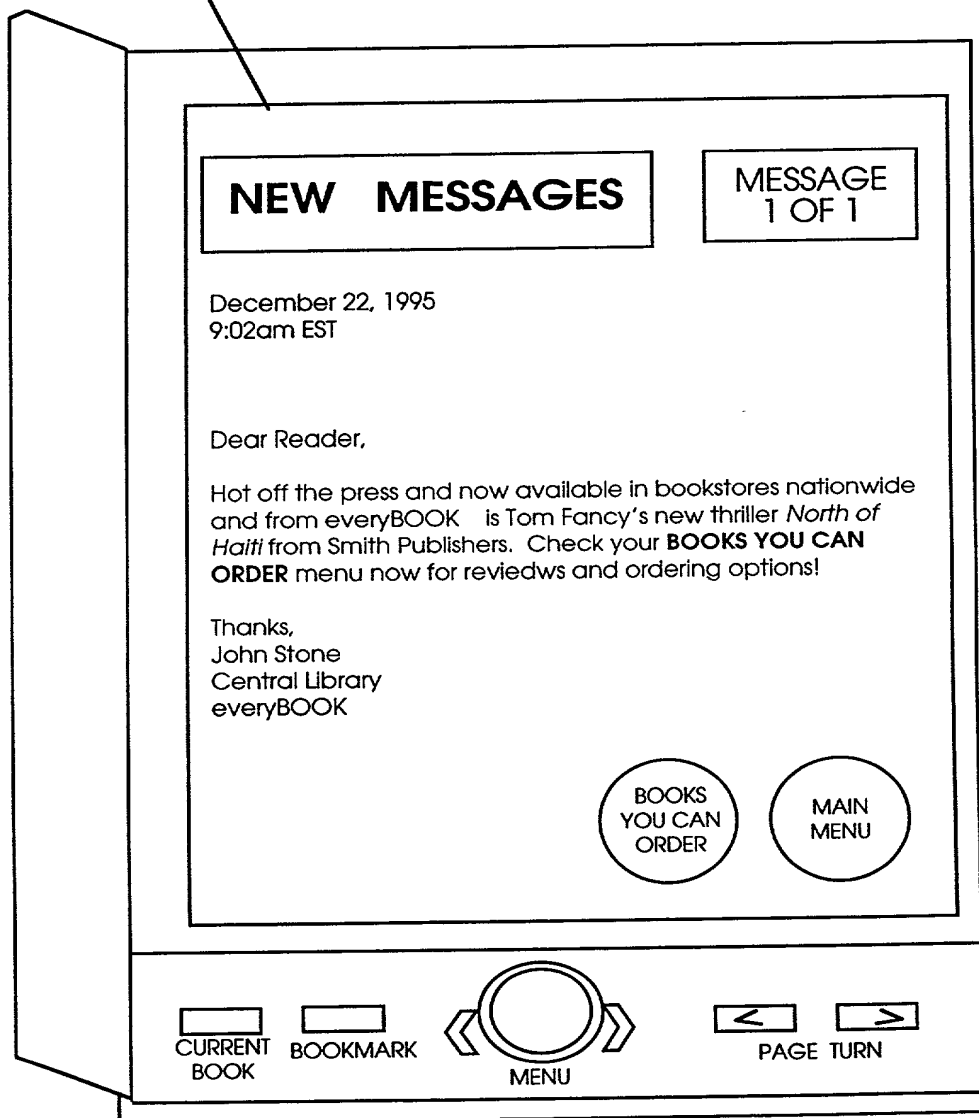


Fig. 14r

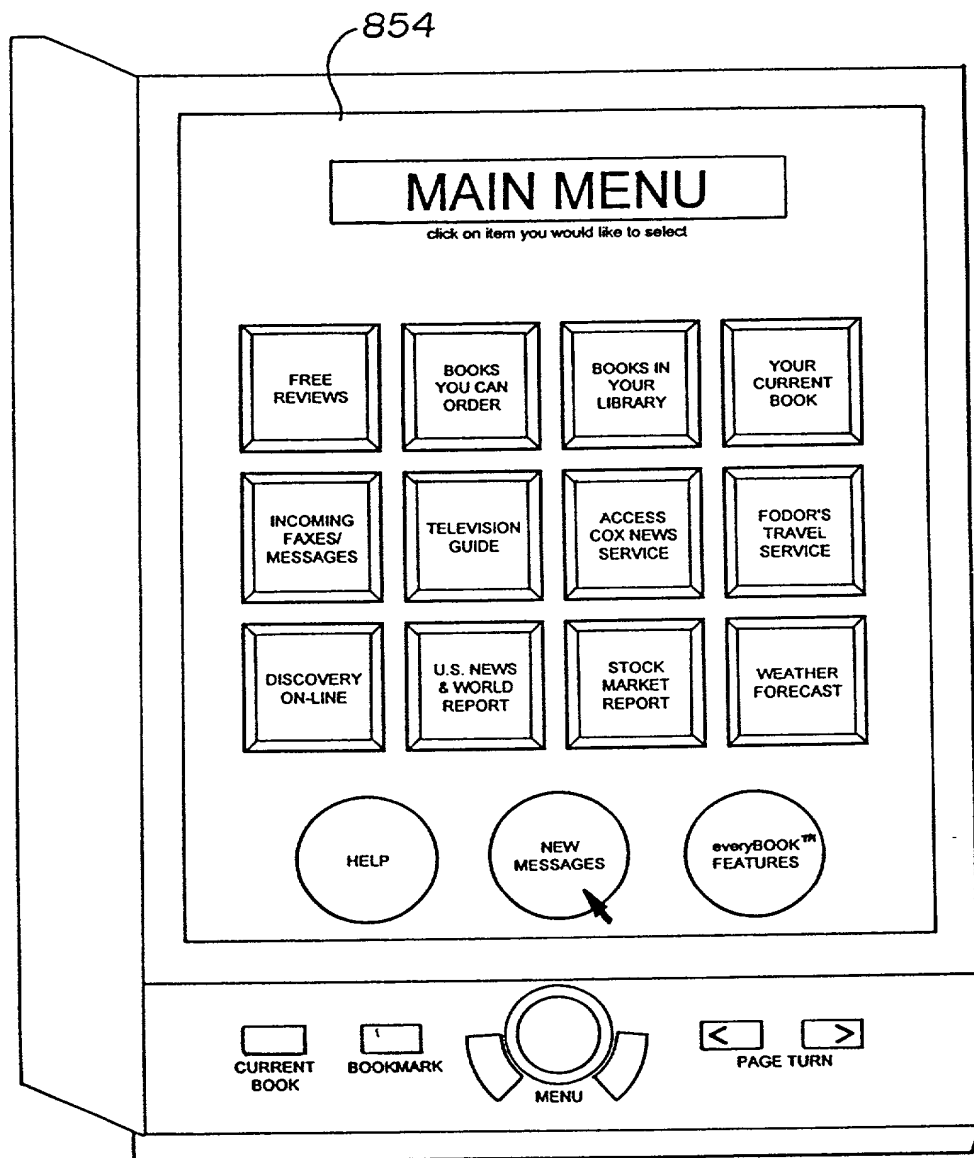
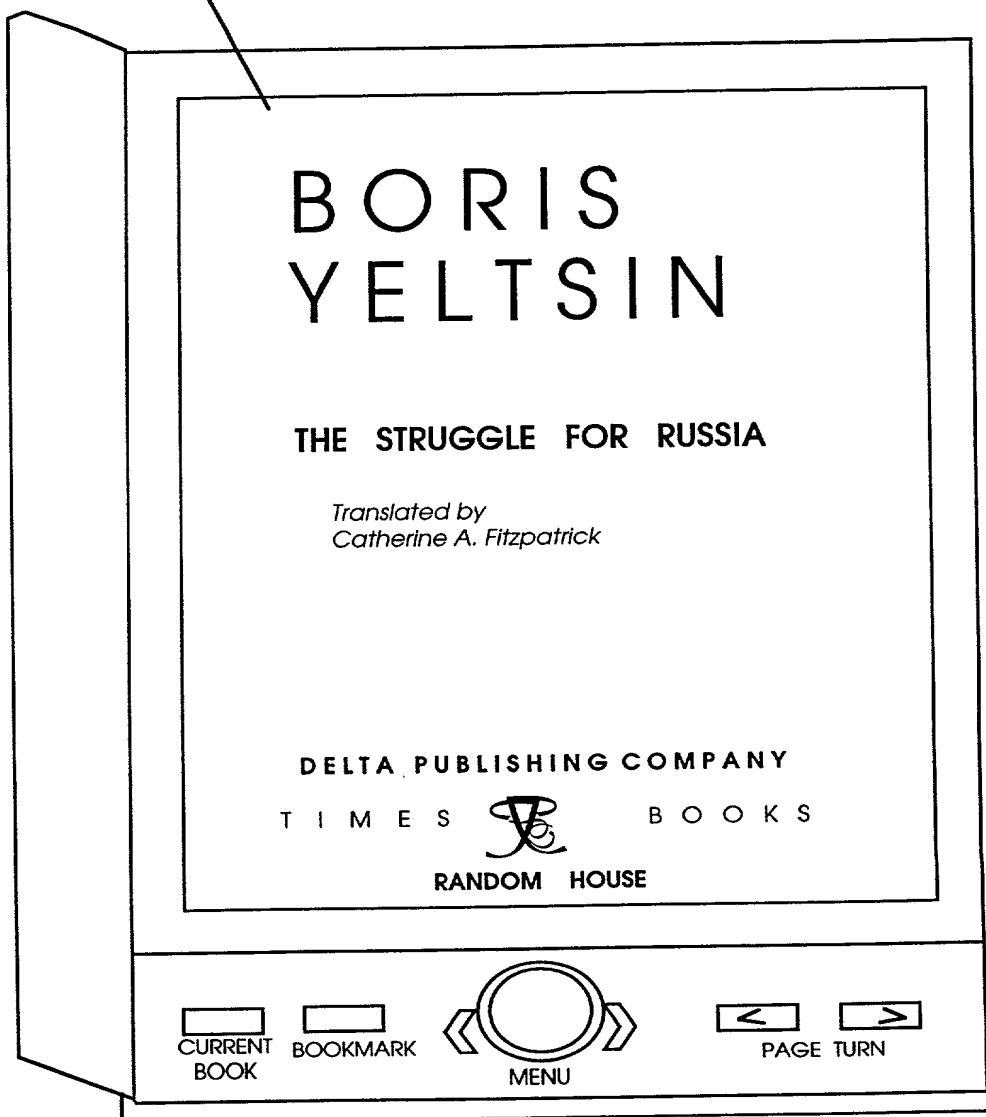


Fig. 14s

851



853

Fig. 14t

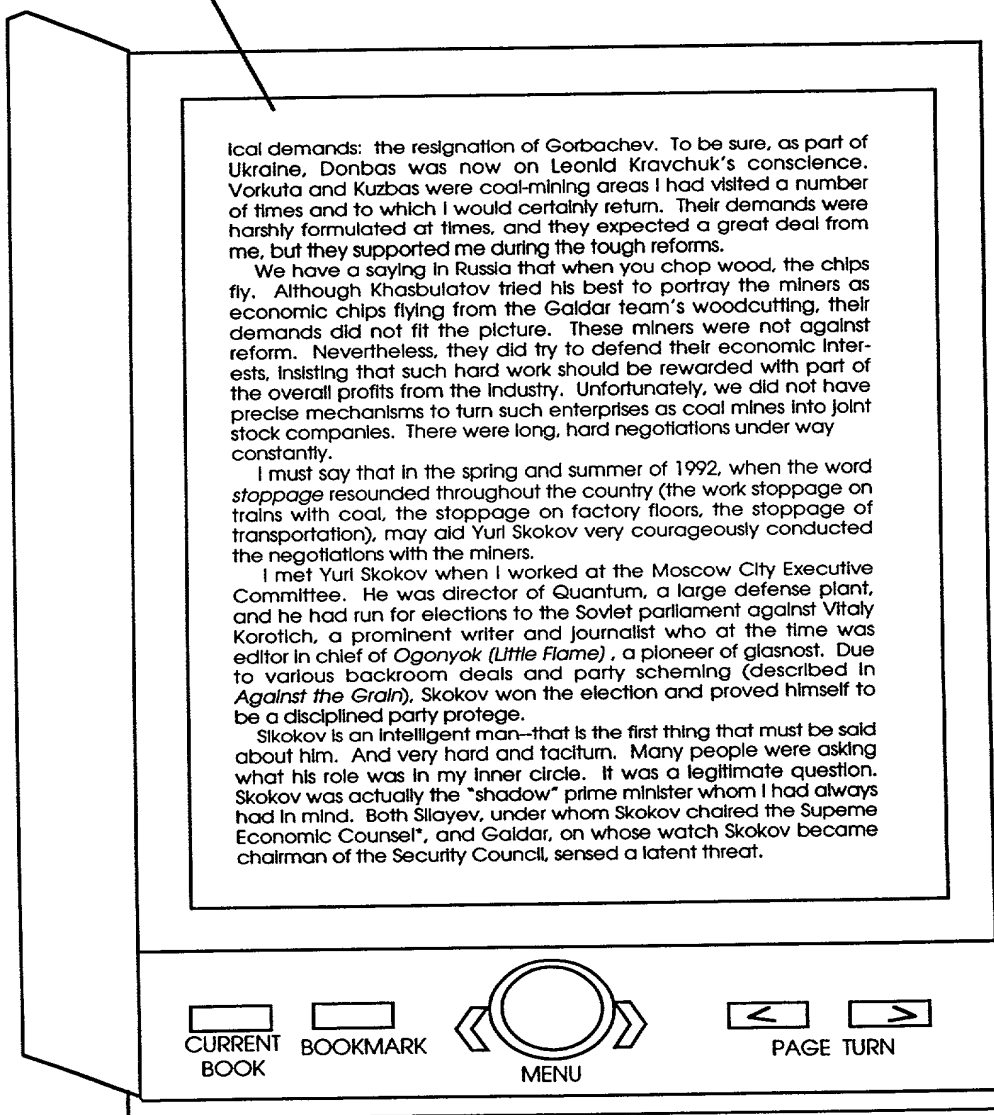
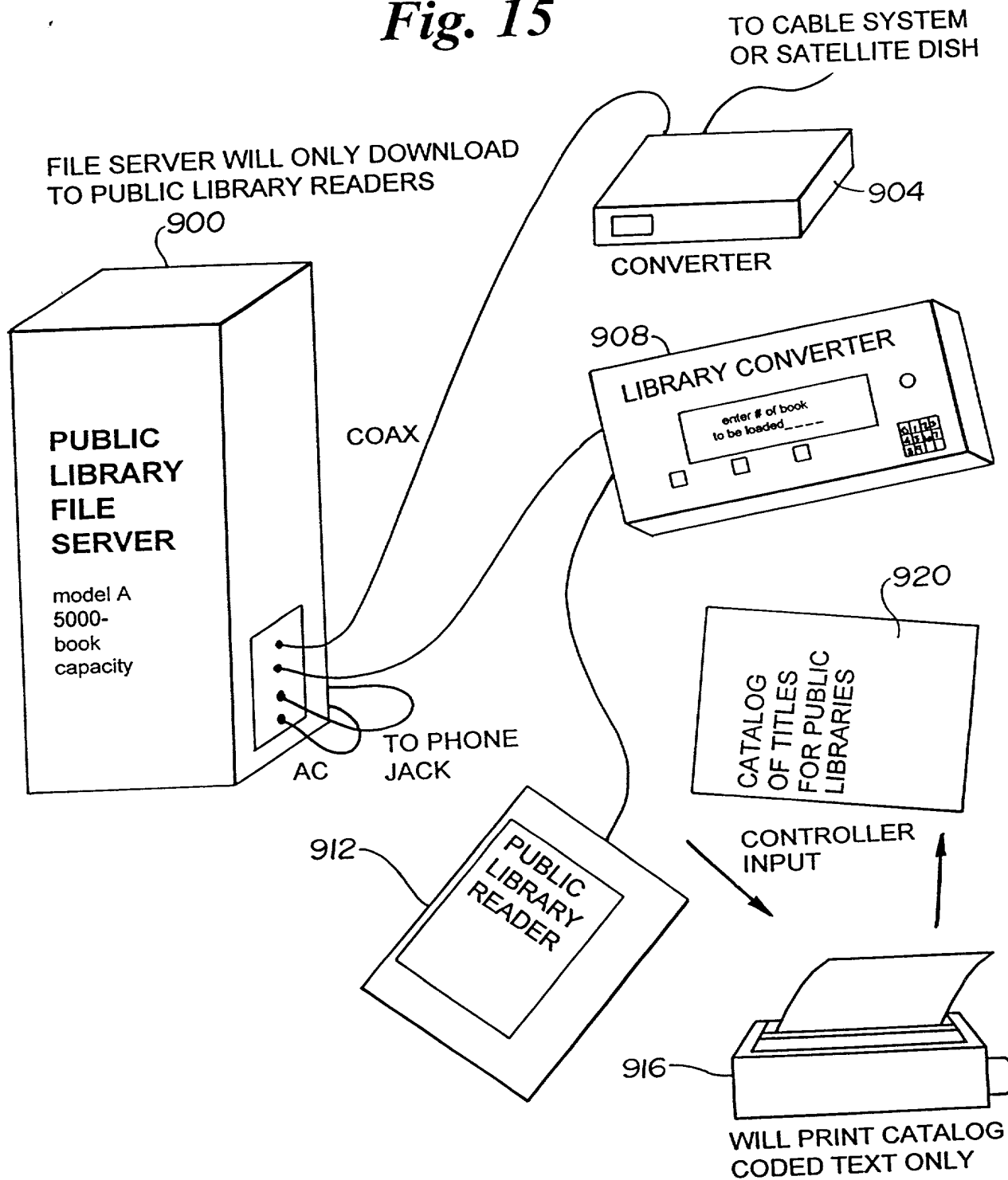


Fig. 15



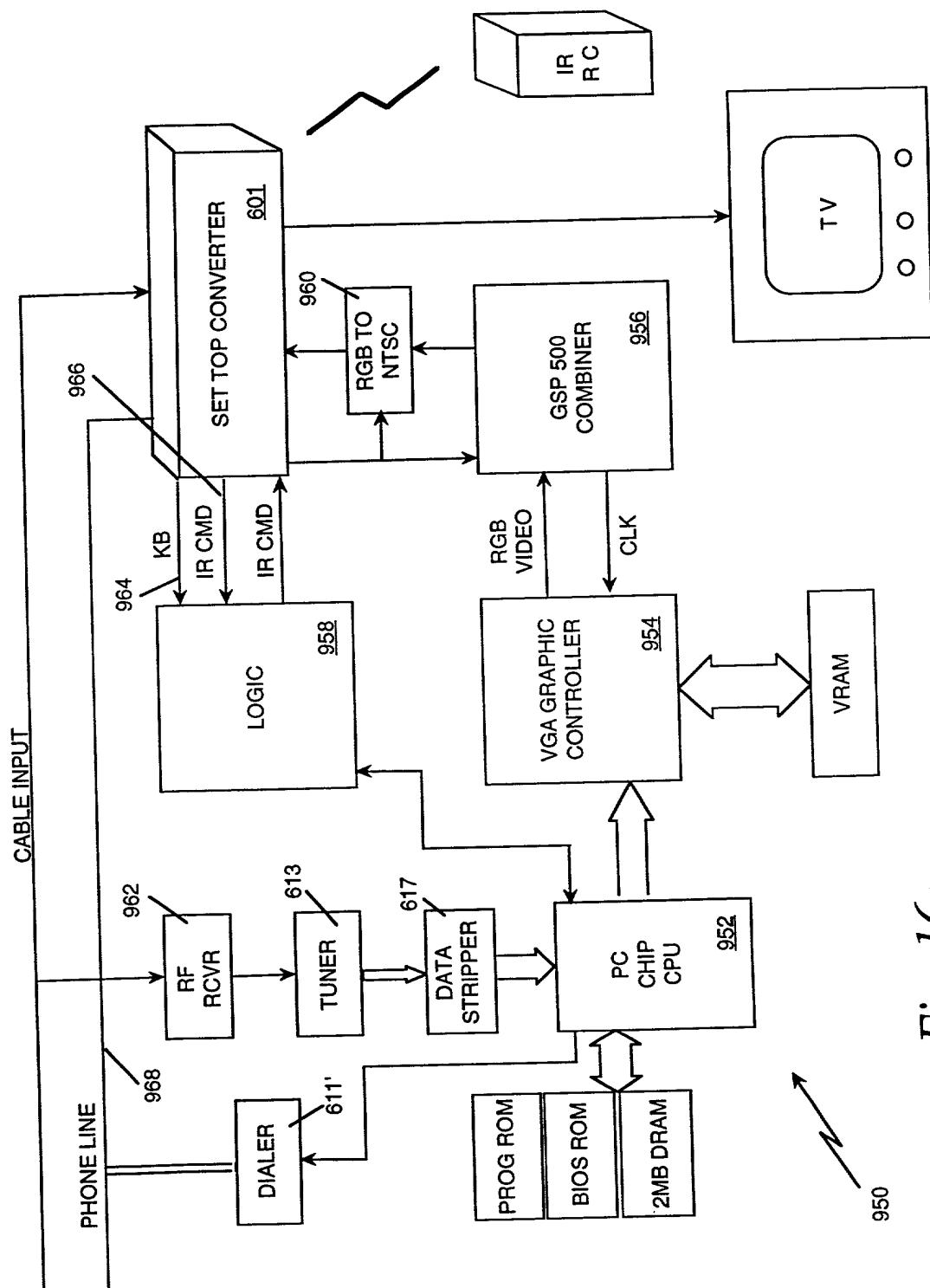


Fig. 16a

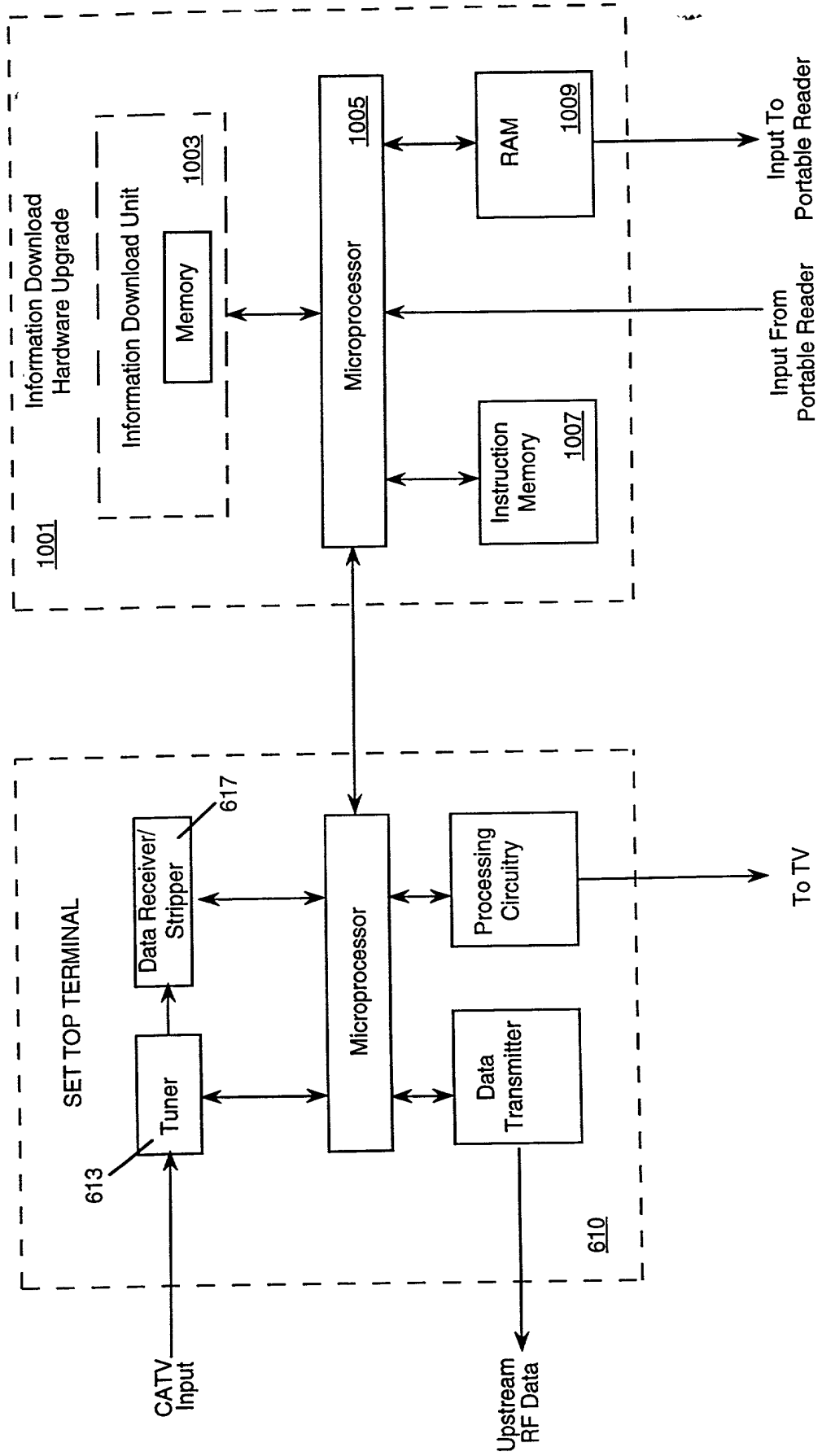


Fig. 16b

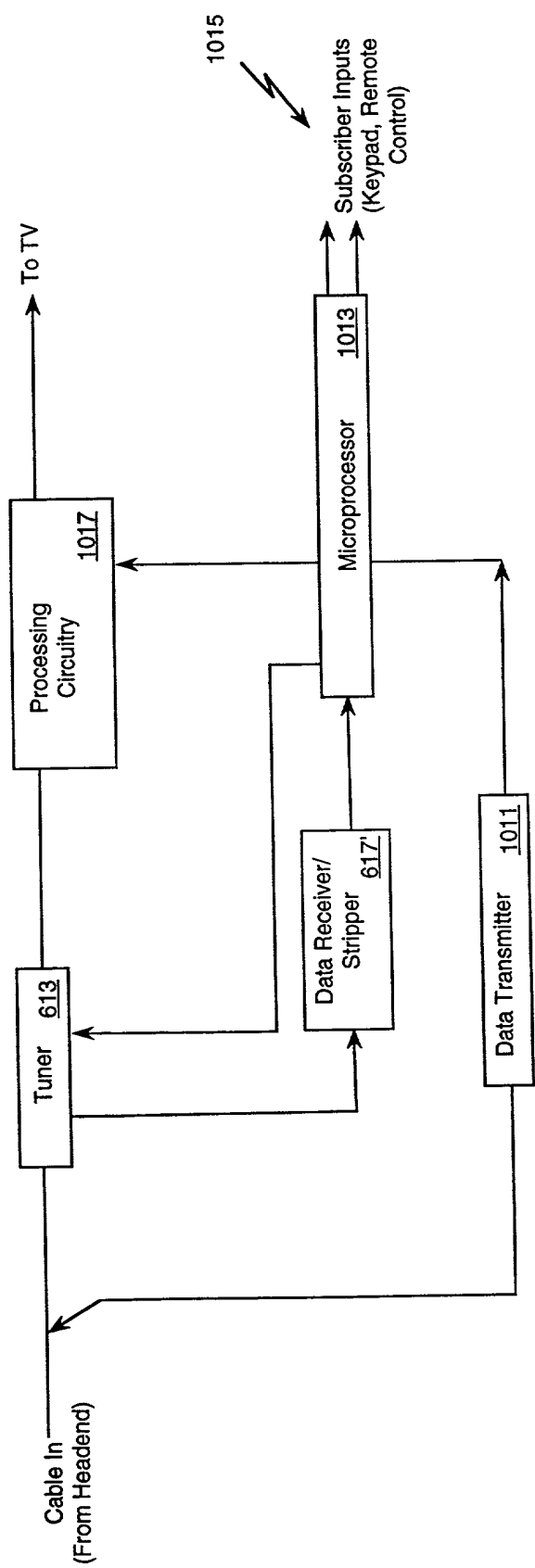


Fig. 17

Fig. 18a

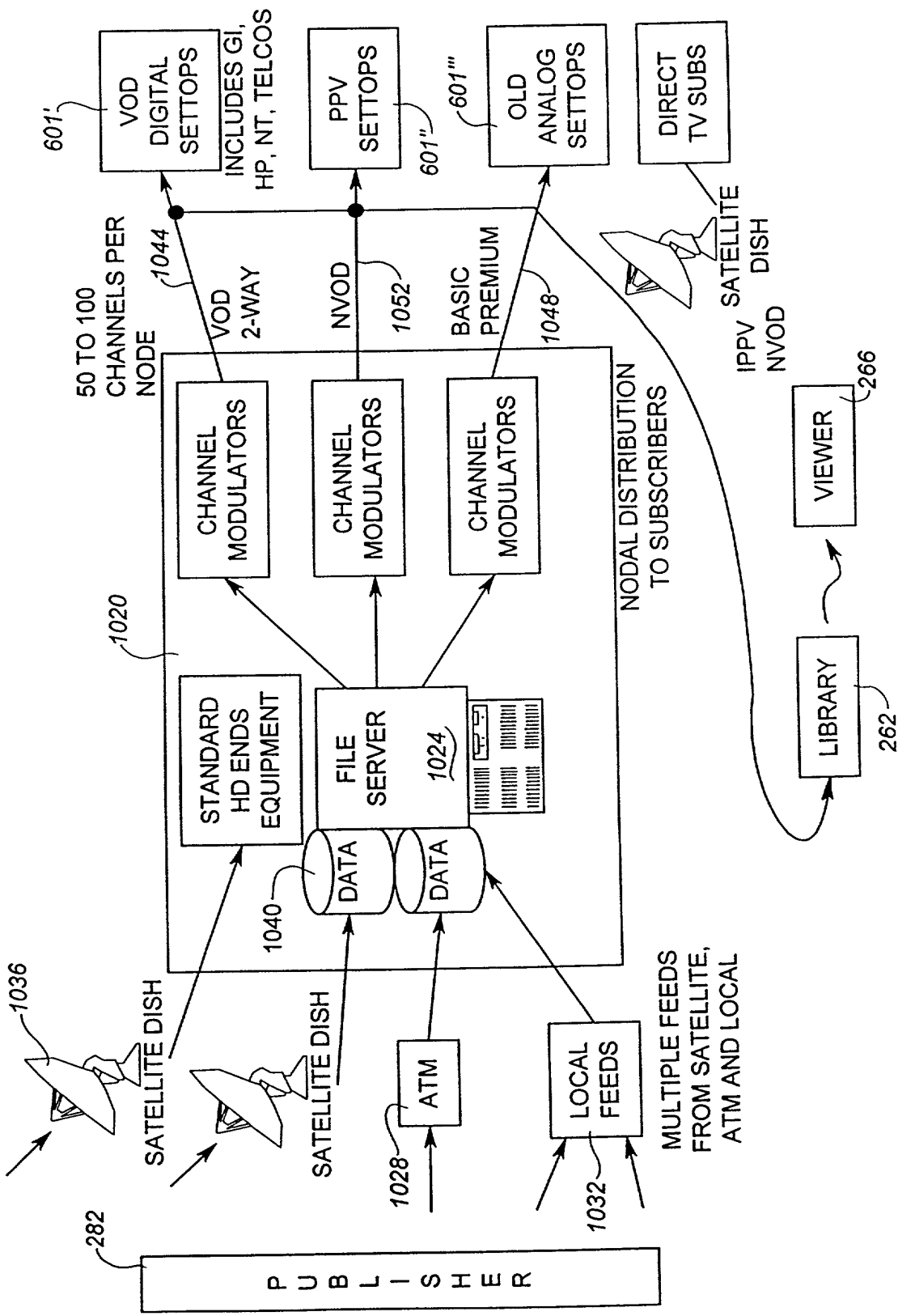


Fig. 18b

